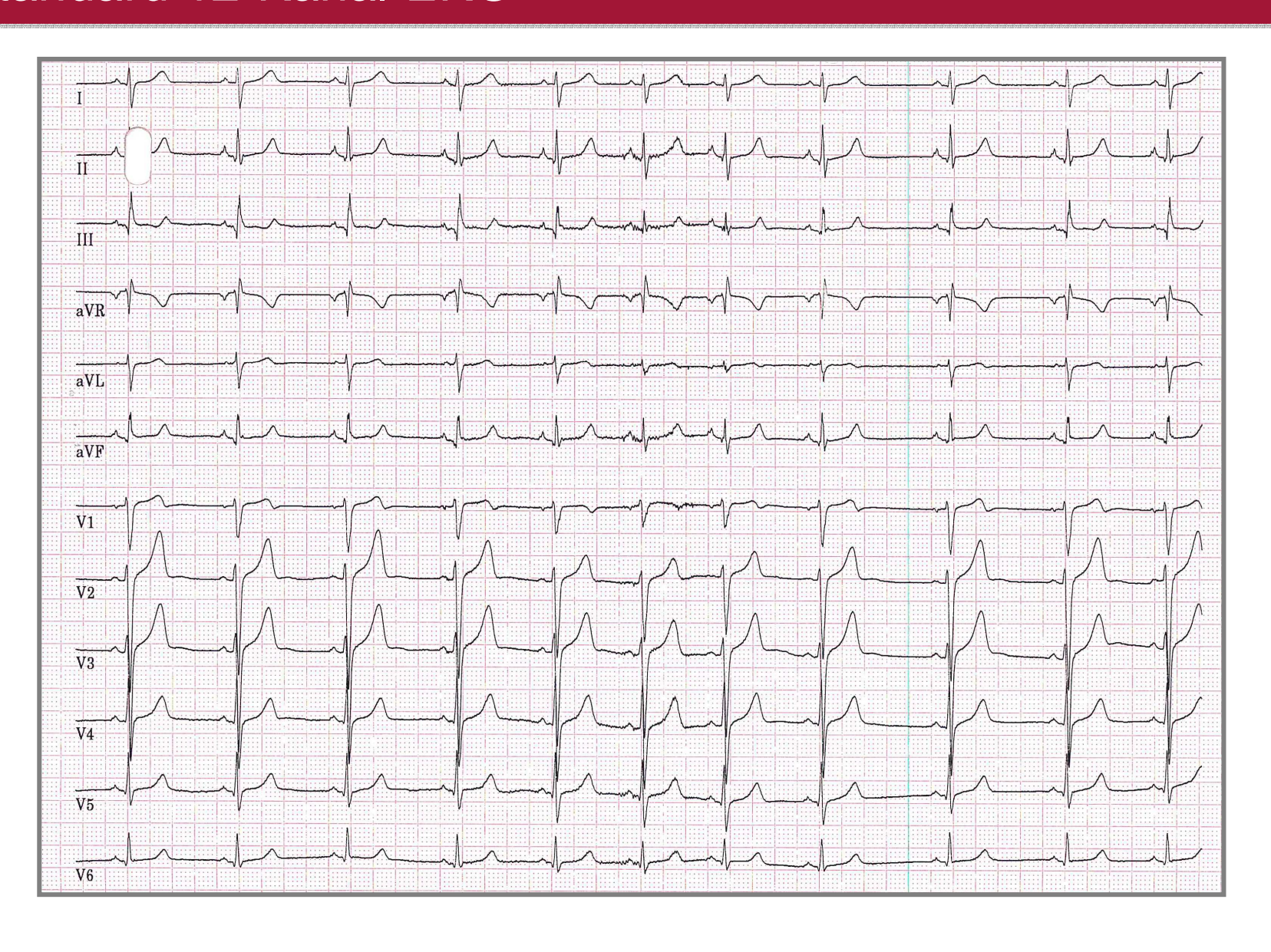


Standard 12-Kanal-EKG



EKG-Standards

REPORT OF COMMITTEE ON ELECTROCARDIOGRAPHY, AMERICAN HEART ASSOCIATION

Recommendations for Standardization of Electrocardiographic and Vector-cardiographic Leads

Committee Members: Frank N. Wilson, M.D., Honorary Chairman†
Charles E. Kossmann, M.D., Chairman, George E. Burch, M.D., Emanuel Goldberger, M.D.,
Ashton Graybiel, Captain, MC, USN, Hans H. Hecht, M.D., Franklin D. Johnston, M.D.,
Eugene Lepeschkin, M.D., Gordon B. Myers, M.D.

EKG-Standards

European Heart Journal (1985) 6, 815-825

Recommendations for measurement standards in quantitative electrocardiography

THE CSE WORKING PARTY*

KEY WORDS: Computer ECG analysis programs, standardisation of measurements, wave recognition.

* Common Standards for Quantitative Electrocardiography

EKG-Standards

Journal of the American College of Cardiology
© 2007 by the American Heart Association, Inc., the American College of Cardiology Foundation, and the Heart Rhythm Society
Published by Elsevier Inc.

Vol. 49, No. 10, 2007 ISSN 0735-1097/00/\$32.00 doi:10.1016/j.jacc.2007.01.024

AHA/ACC/HRS SCIENTIFIC STATEMENTS

Recommendations for the Standardization and Interpretation of the Electrocardiogram

Part I: The Electrocardiogram and Its Technology

A Scientific Statement From the American Heart Association Electrocardiography and Arrhythmias Committee, Council on Clinical Cardiology; the American College of Cardiology Foundation; and the Heart Rhythm Society

Endorsed by the International Society for Computerized Electrocardiology

Paul Kligfield, MD, FAHA, FACC; Leonard S. Gettes, MD, FAHA, FACC; James J. Bailey, MD;
 Rory Childers, MD; Barbara J. Deal, MD, FACC; E. William Hancock, MD, FACC;
 Gerard van Herpen, MD, PhD; Jan A. Kors, PhD; Peter Macfarlane, DSc; David M. Mirvis, MD, FAHA;
 Olle Pahlm, MD, PhD; Pentti Rautaharju, MD, PhD; Galen S. Wagner, MD

ECG - AHA/ACC/HRS Scientific Statements

TABLE 1. Primary Statements

A. Overall interpretation		
1	Normal ECG	
2	Otherwise normal ECG	
3	Abnormal ECG	
4	Uninterpretable ECG	
B. Technical conditions		
10	Extremity electrode reversal	
11	Misplaced precordial electrode(s)	
12	Missing lead(s)	
13	Right-sided precordial electrode(s)	
14	Artifact	
15	Poor-quality data	
16	Posterior electrode(s)	

JACC Vol. 49, No. 10, 2007 March 13, 2007:1128-35

Mason et al. 1131 Standardization and Interpretation of the ECG, Part II

A. Overall interpretation		G. Ventricular tachyamhythmias	
1	Normal ECG	70	Ventricular tachycardia
2	Otherwise normal ECG	71	Ventricular tachycardia, unsustained
3	Abnormal ECG	72	Ventricular tachycardia, polymorphous
4	Uninterpretable ECG	73	Ventricular tachycardia, torsades de
B. Technical conditions		1	pointes
10	Extremity electrode reversal	74	Ventricular fibrillation
11	Misplaced precordial electrode(s)	75	Fascicular tachycardia
12	Missing lead(s)	76	Wide-QRS tachycardia
13	Right-sided precordial electrode(s)	H. Atrioventricular conduction	
14	Artifact	80	Short PR interval
15	Poor-quality data	81	AV conduction ratio N:D
16	Posterior electrode(s)	82	Prolonged PR interval
C. Sinus node rhythms and arrhythmias		83	Second-degree AV block, Mobitz type I
20	Sinus rhythm		(Wenckebach)
21	Sinus tachycardia	84	Second-degree AV block, Mobitz type II
22	Sinus bradycardia	85	2:1 AV block
23	Sinus arrhythmia	86	AV block, varying conduction
24	Sinoatrial block, type I	87	AV block, advanced (high-grade)
25	Sinoatrial block, type II	88	AV block, complete (third-degree)
26	Sinus pause or arrest	89	AV dissociation
27	Uncertain supraventricular rhythm	L Intraventricular and intra-atrial	
D. Supraventricular anthythmias	Uncertain supraventicular myenn	conduction	
30	Atrial premature complex(es)	100	Aberrant conduction of supraventricular
31	Atrial premature complexes.	1	beat(s)
31	nonconducted	101	Left anterior fascicular block
32	Retrograde atrial activation	102	Left posterior fascicular block
	Wandering atrial pacemaker	104	Left bundle-branch block
33	Ectooic strial rhythm	105	Incomplete right bundle-branch block
34	Ectopic atrial rhythm, multifocal	106	Right bundle-branch block
35	Junctional premature complex(es)	107	Intraventricular conduction delay
36	Junctional escape complex(es)	108	Ventricular preexcitation
37	Junctional rhythm	109	Right atrial conduction abnormality
38	Accelerated junctional rhythm	110	Left atrial conduction abnormality
39		111	Epsilon wave
40	Supraventricular rhythm		-
41	Supraventricular complex(es)	J. Axis and voltage	Right-axis deviation
42	Bradycardia, nonsinus	120	Left-exis deviation
E. Supraventricular tachyanthythmias	*******	121	Right superior axis
50	Atrial fibrillation	122	Indeterminate axis
51	Atrial flutter	123	Electrical alternans
52	Ectopic atrial tachycardia, unifocal	124	Low voltage
53	Ectopic atrial tachycardia, multifocal	125	Abnormal precordial R-wave progressio
54	Junctional tachycardia	128	Abnormal P-wave axis
55	Supraventricular tachycardia	131	Abriorna F-wave axis
56	Narrow-QRS tachycardia	K. Chamber hypertrophy or	
F. Ventricular arrhythmias		enlargement	
60	Ventricular premature complex(es)	140	Left atrial enlargement
61	Fusion complex(es)	141	Right atrial enlargement
62	Ventricular escape complex(es)	142	Left ventricular hypertrophy
63	ldioventricular rhythm	143	Right ventricular hypertrophy
64	Accelerated idioventricular rhythm	144	Biventricular hypertrophy
65	Fascicular rhythm		
66	Parasystole	1	

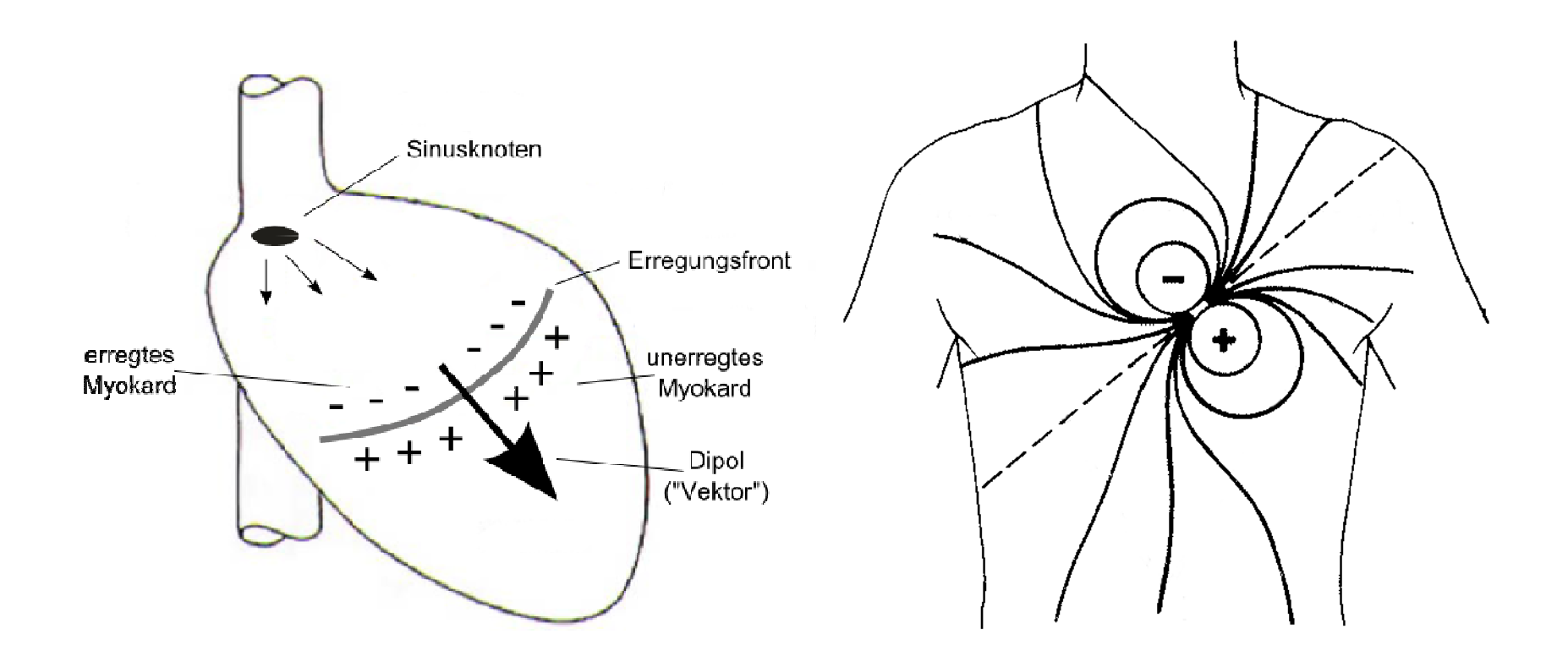
Mason et al. 2007

EGK-Grundlagen

Wichtige Konzepte

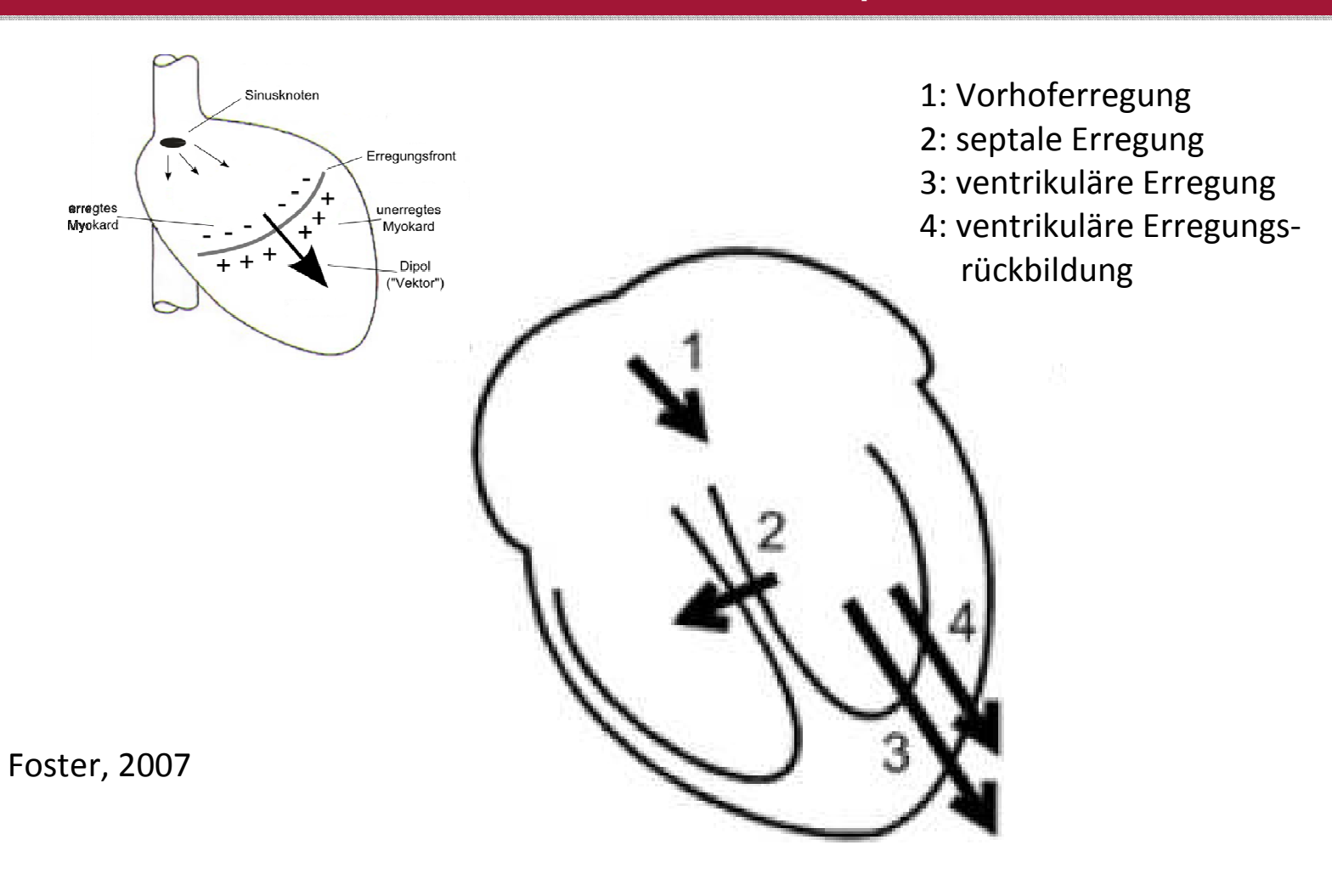
- Wenn die Erregung in Richtung der positiven Elektrode erfolgt, ergibt sich im EKG ein positiver Ausschlag
- Mittels der verschiedenen Ableitungen lässt sich die elektrische Aktivität des Herzens aus unterschiedlichen Blickwinkeln betrachten
- Es ergeben sich 4 Hauptsummationsvektoren, die wegweisend für die Analyse der elektrischen Aktivität des Herzens sind

Vektoren und elektrisches Feld

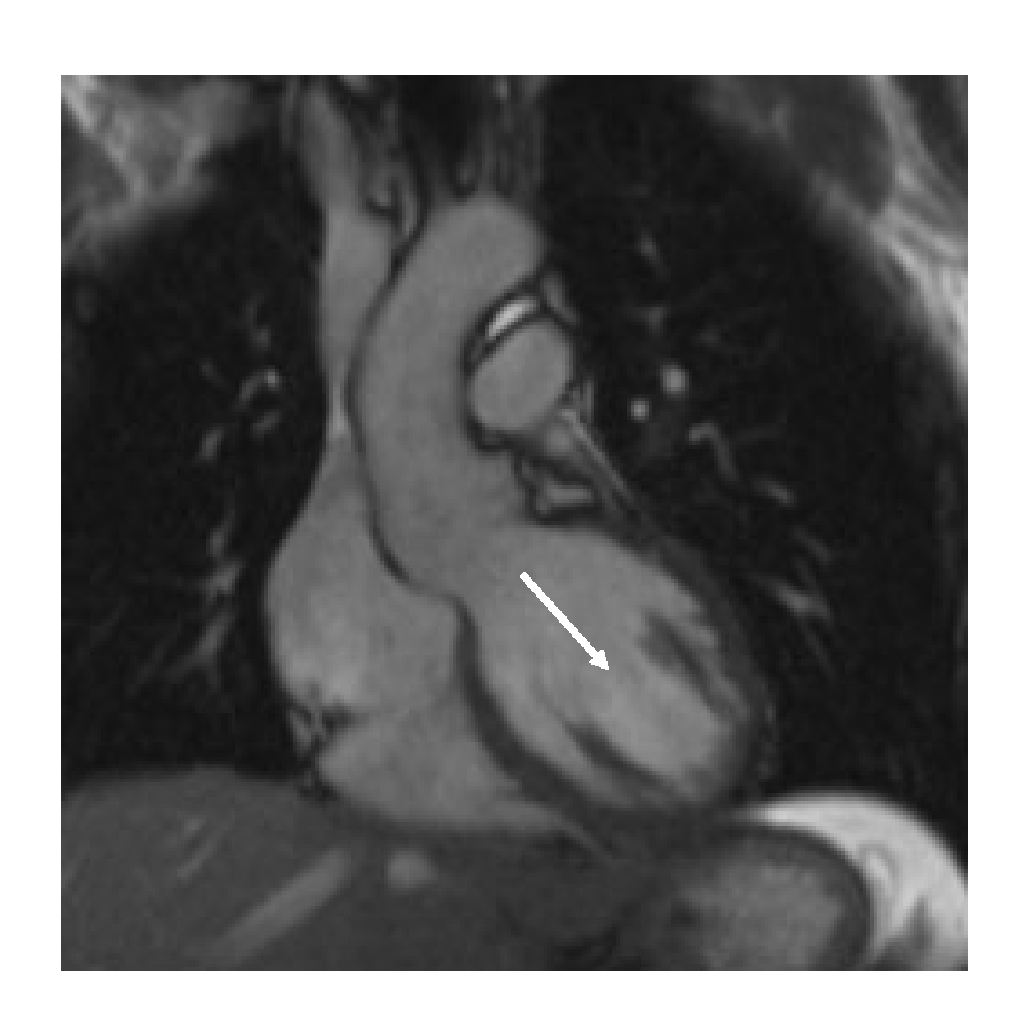


Dipol: zwei benachbarte, nicht zusammenfallende Ladungen; Größe mit Vektorcharakter

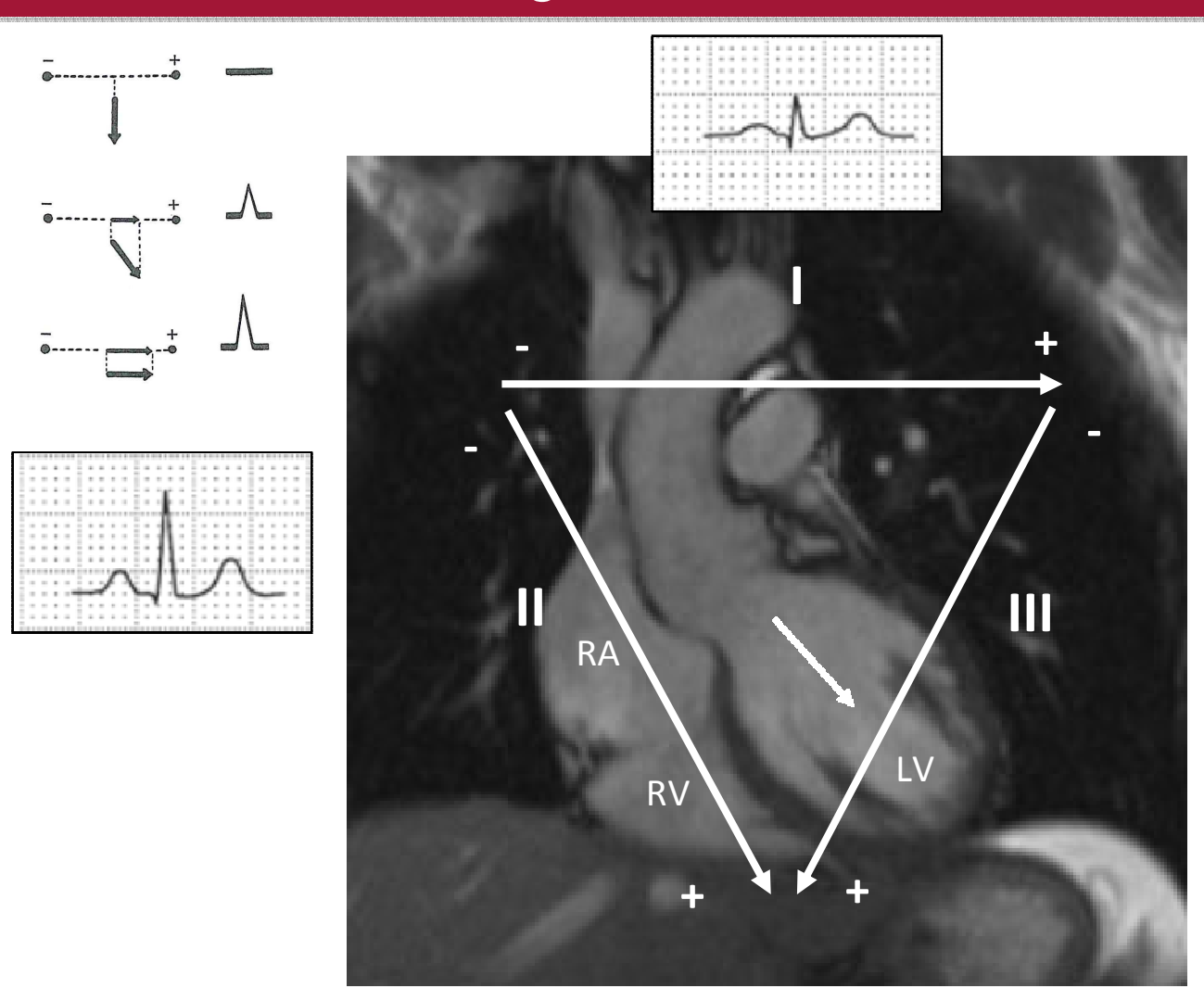
Summationsvektoren während der Depolarisation

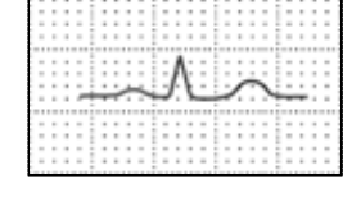


Hauptrichtung der ventrikulären Erregungsausbreitung



Extremitätenableitungen nach Einthoven

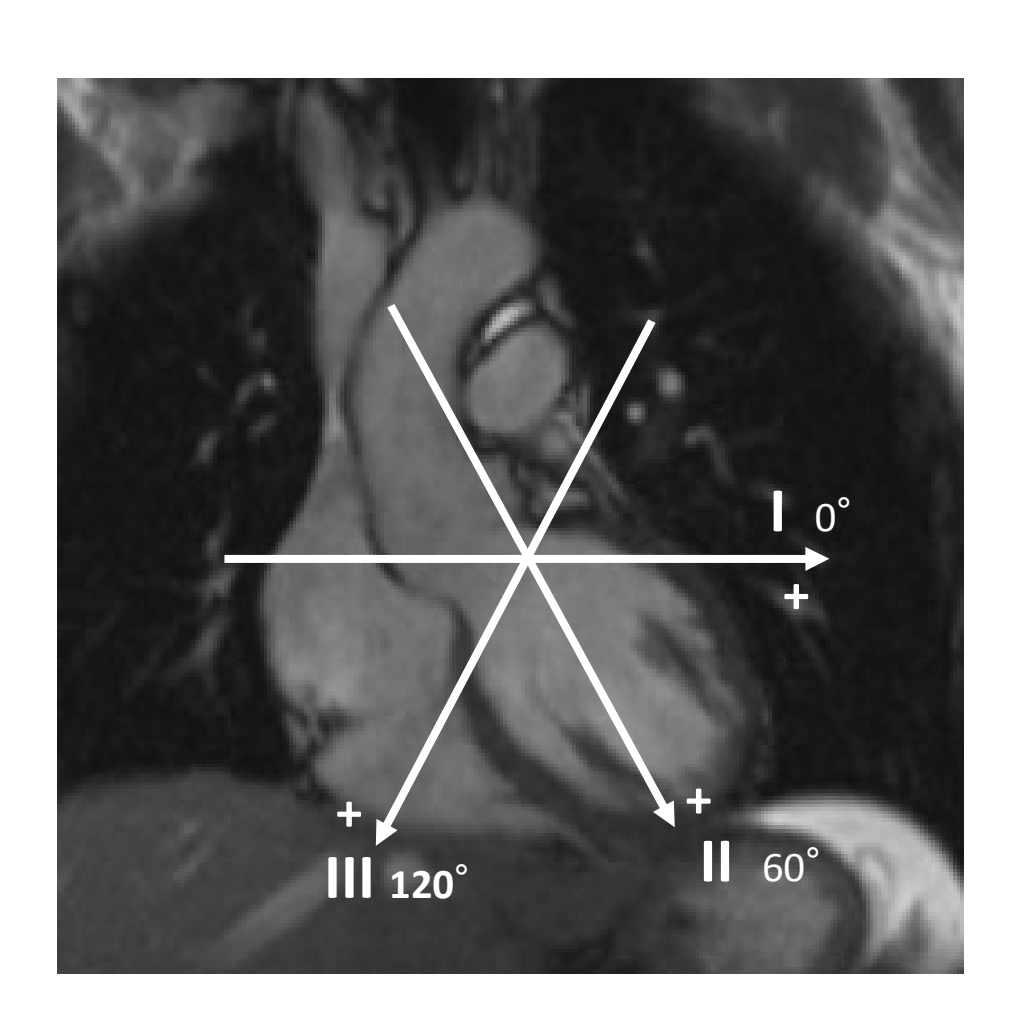




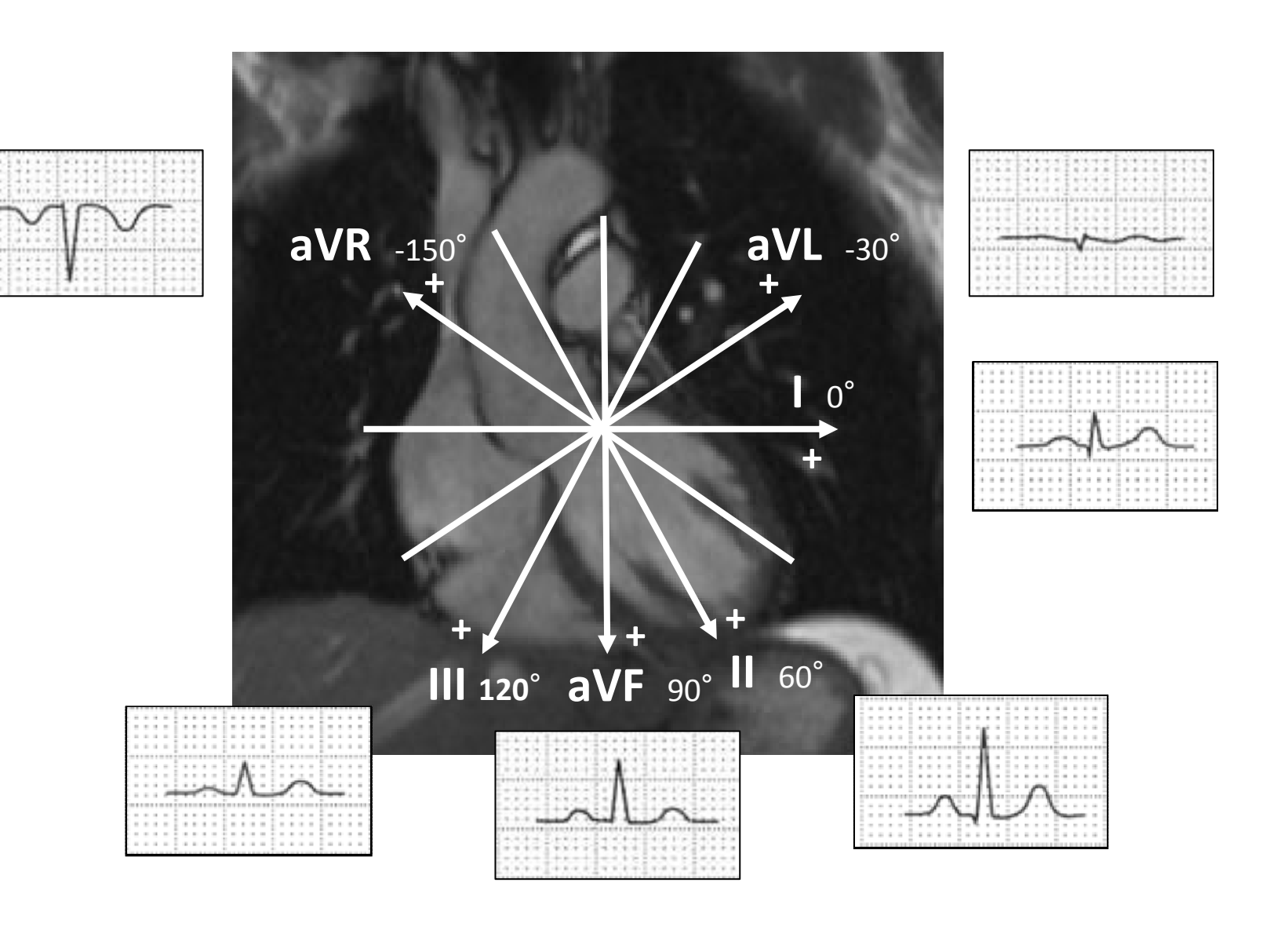
Frontalebene

Extremitätenableitungen nach Einthoven

Parallelverschiebung

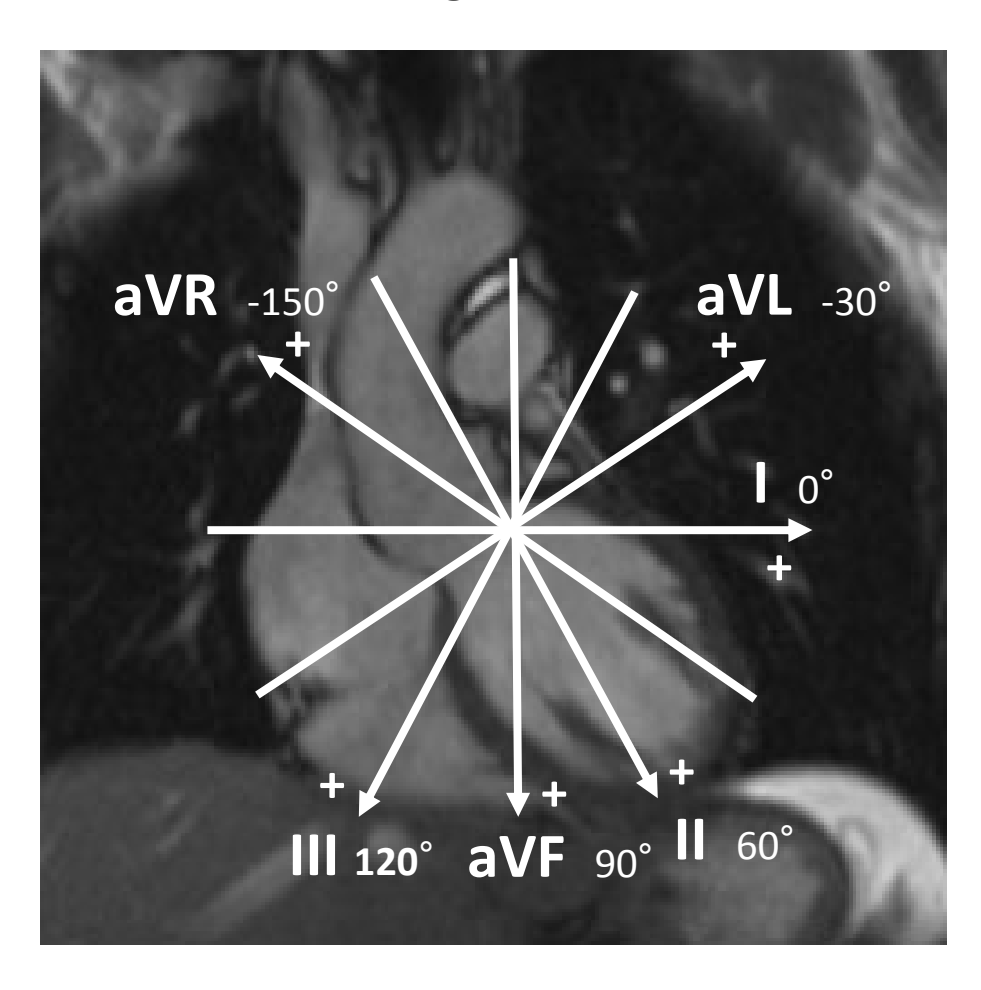


Extremitätenableitungen nach Einthoven u. Goldberger



Extremitätenableitungen nach Einthoven u. Goldberger

OBEN

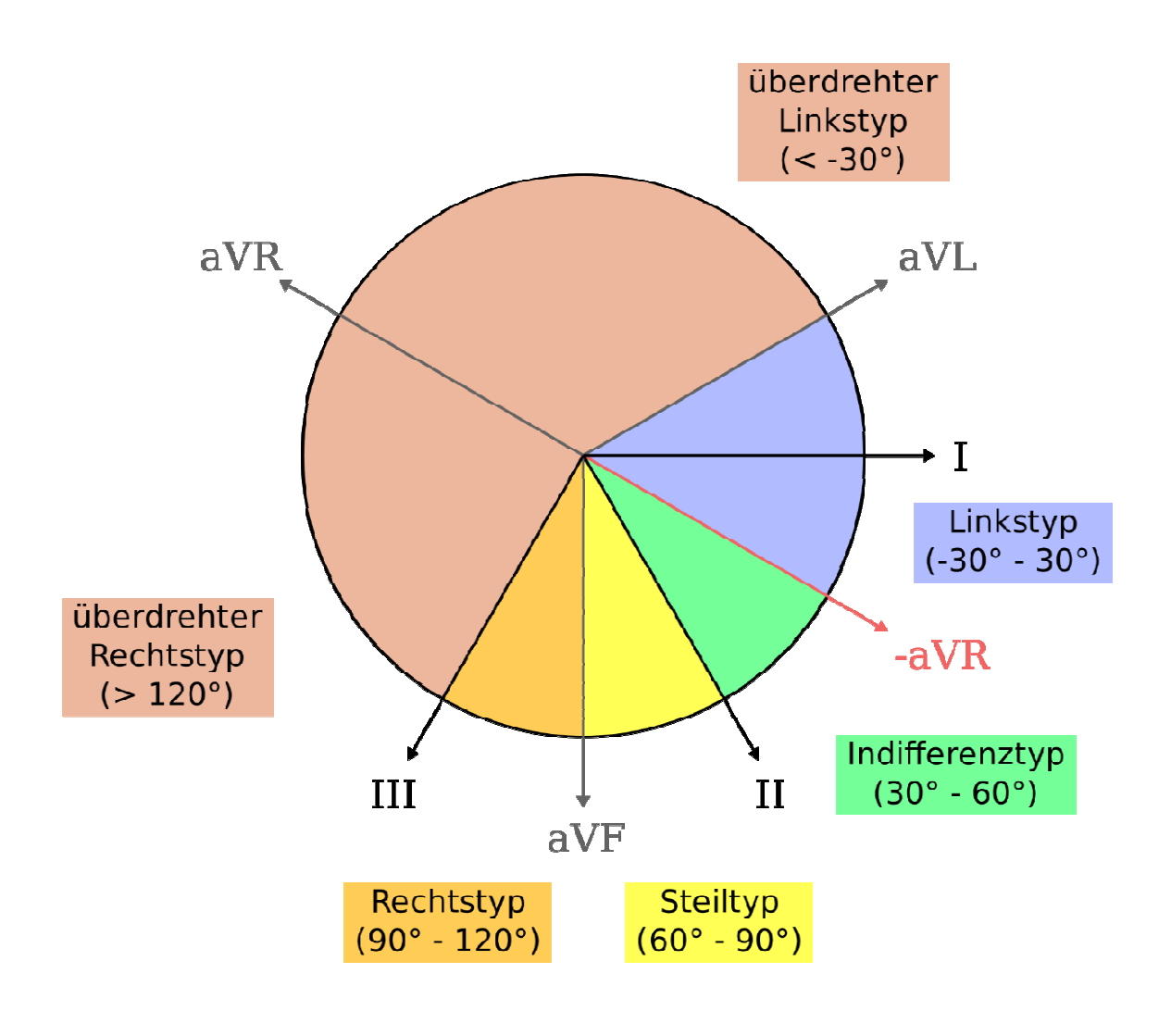


RECHTS

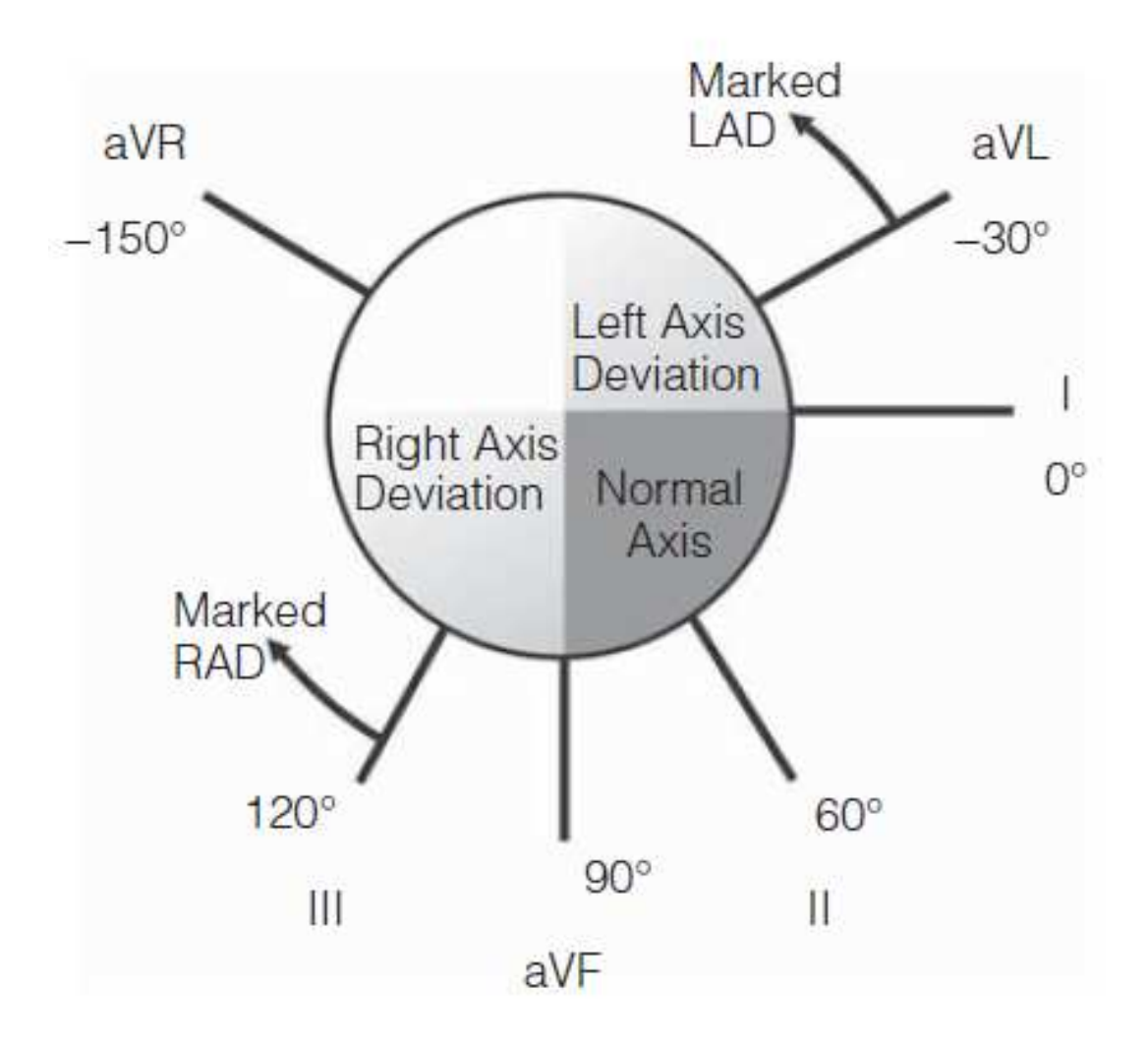
LINKS

UNTEN

Cabrera-Kreis und Lagetypen

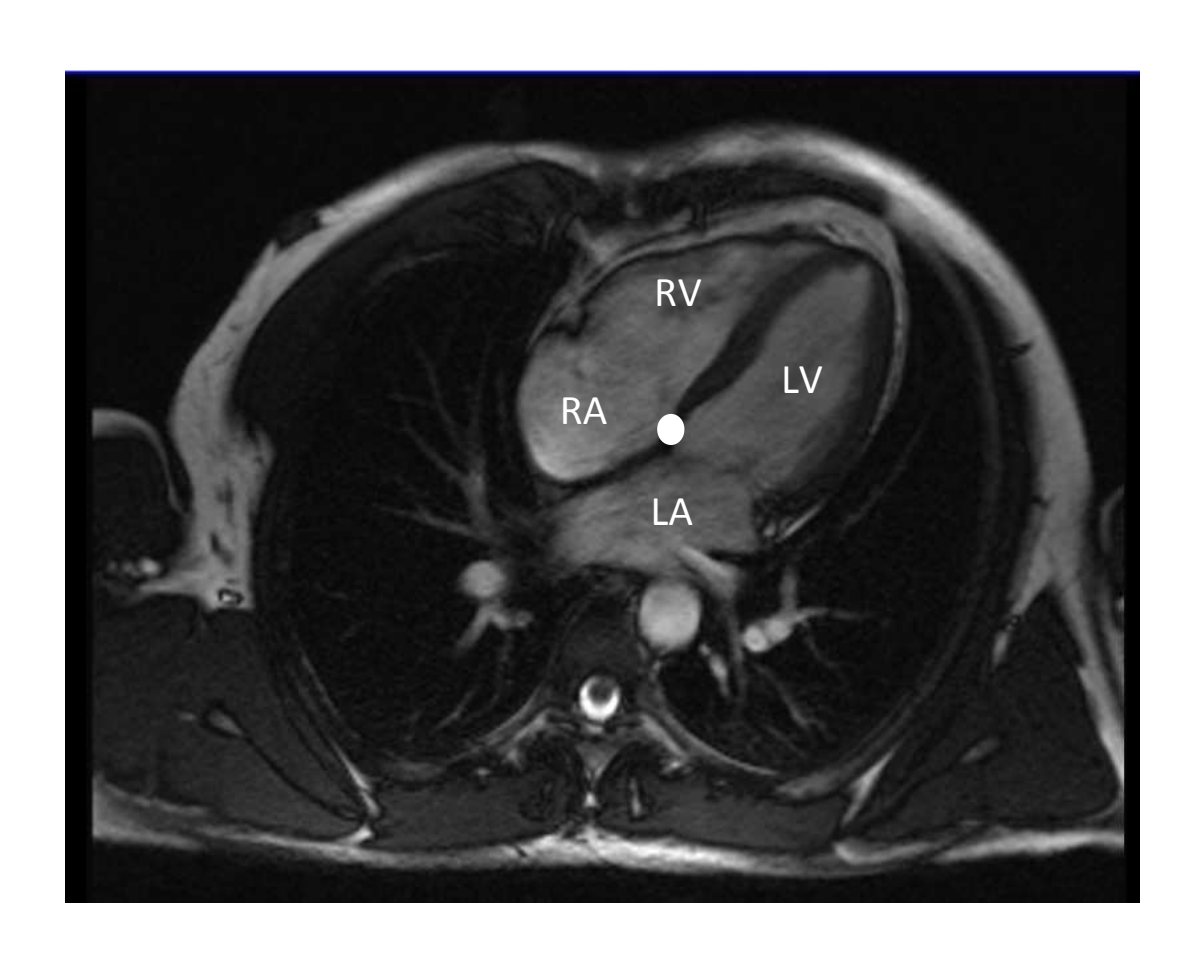


(Elektrische) QRS-Achsen



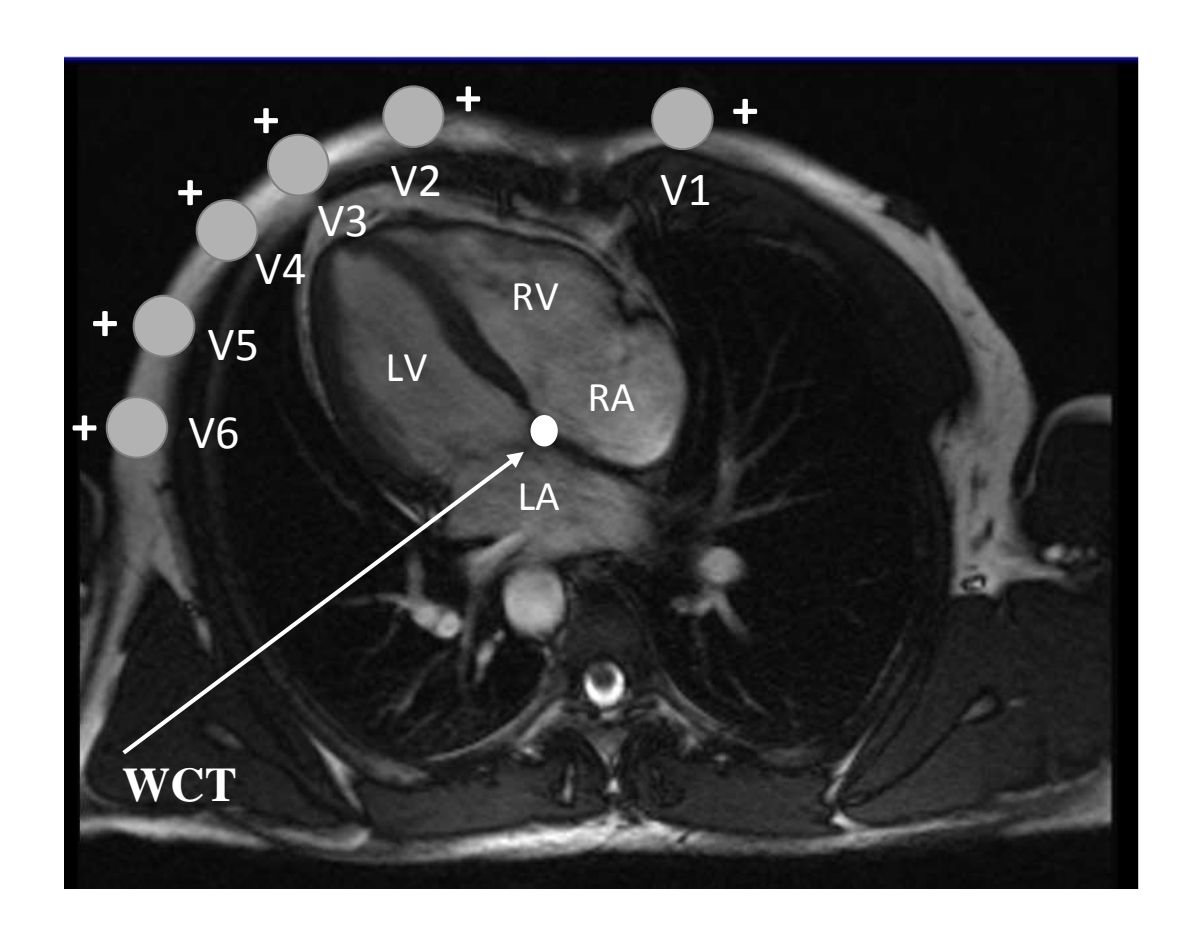
Foster, 2007

MRT Herz - Horizontalebene

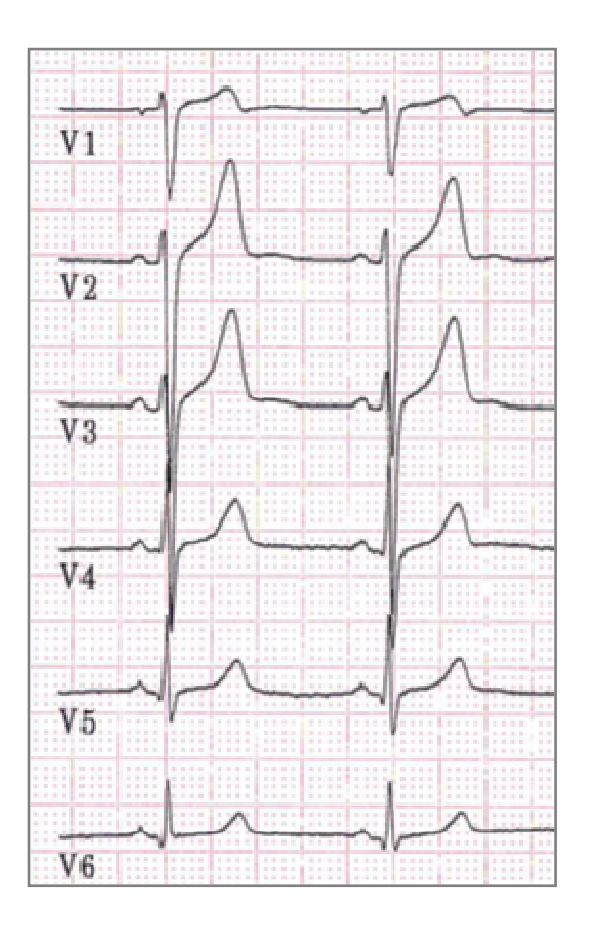


Brustwandableitungen nach Wilson

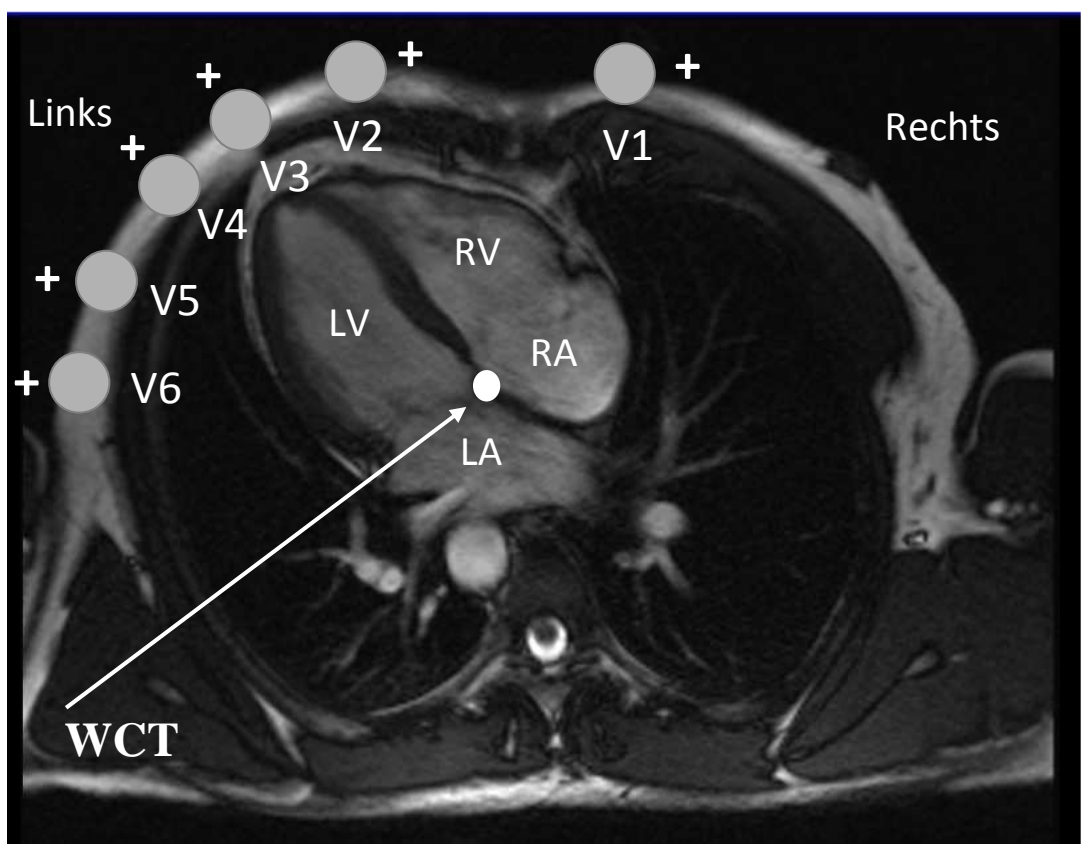
- Septal = 1-2
- Anterior = V3-4
- Lateral = V5-6



Brustwandableitungen nach Wilson



Vorn



Hinten

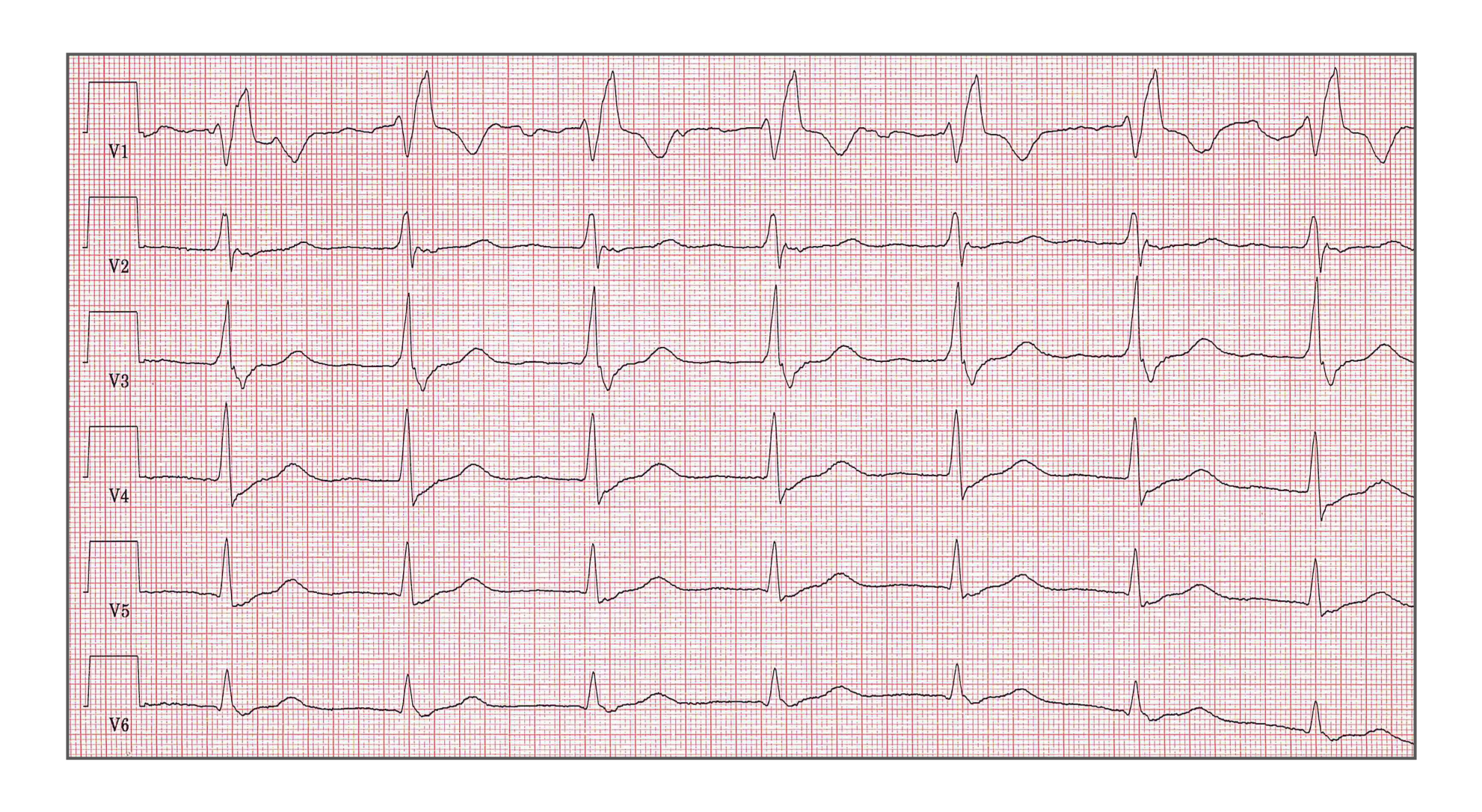
Warum Brustwandableitungen?

Wilson made a reasonable assumption that the potential oscillations of his central terminal would be small compared with those of the exploring electrode and that his "unipolar" leads therefore would largely reflect the potential variation under the exploring electrode. Later investigators have often mistakenly taken this to mean that these leads reflect electrical activity only of cardiac regions in the vicinity of the exploring electrode.

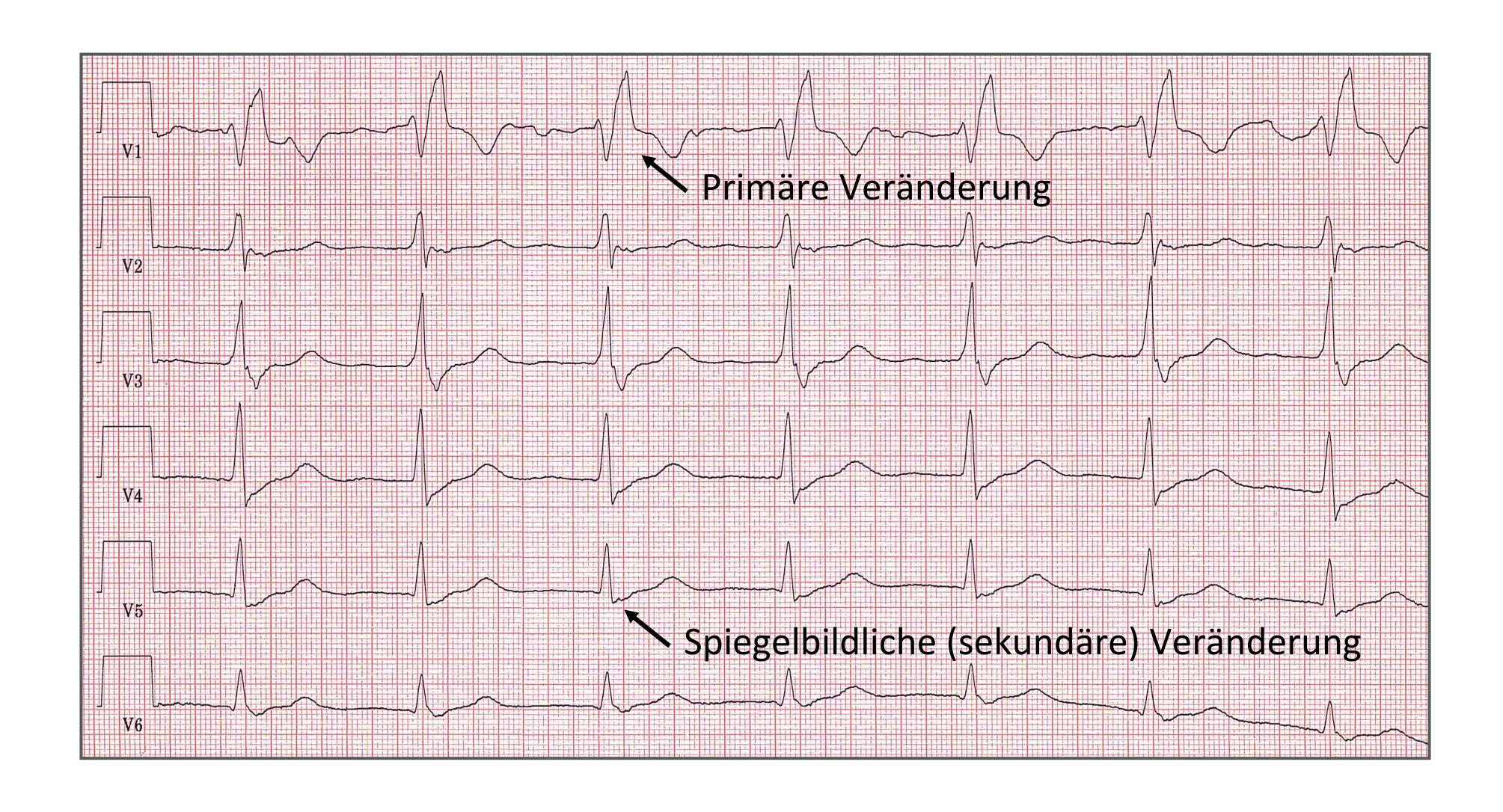
"Blickwinkel" von Ableitungen

- Globale Effekte ("Blickwinkel" basierend auf bipolarer Ableitung)
- Direkte regionale Effekte ("verstärkter Blick" auf Aspekte in der Nähe der ableitenden Elektrode)
- Indirekte regionale Effekte ("Blick in die Entfernung" durch elektrodennahe Pathologien)

Diagnose?



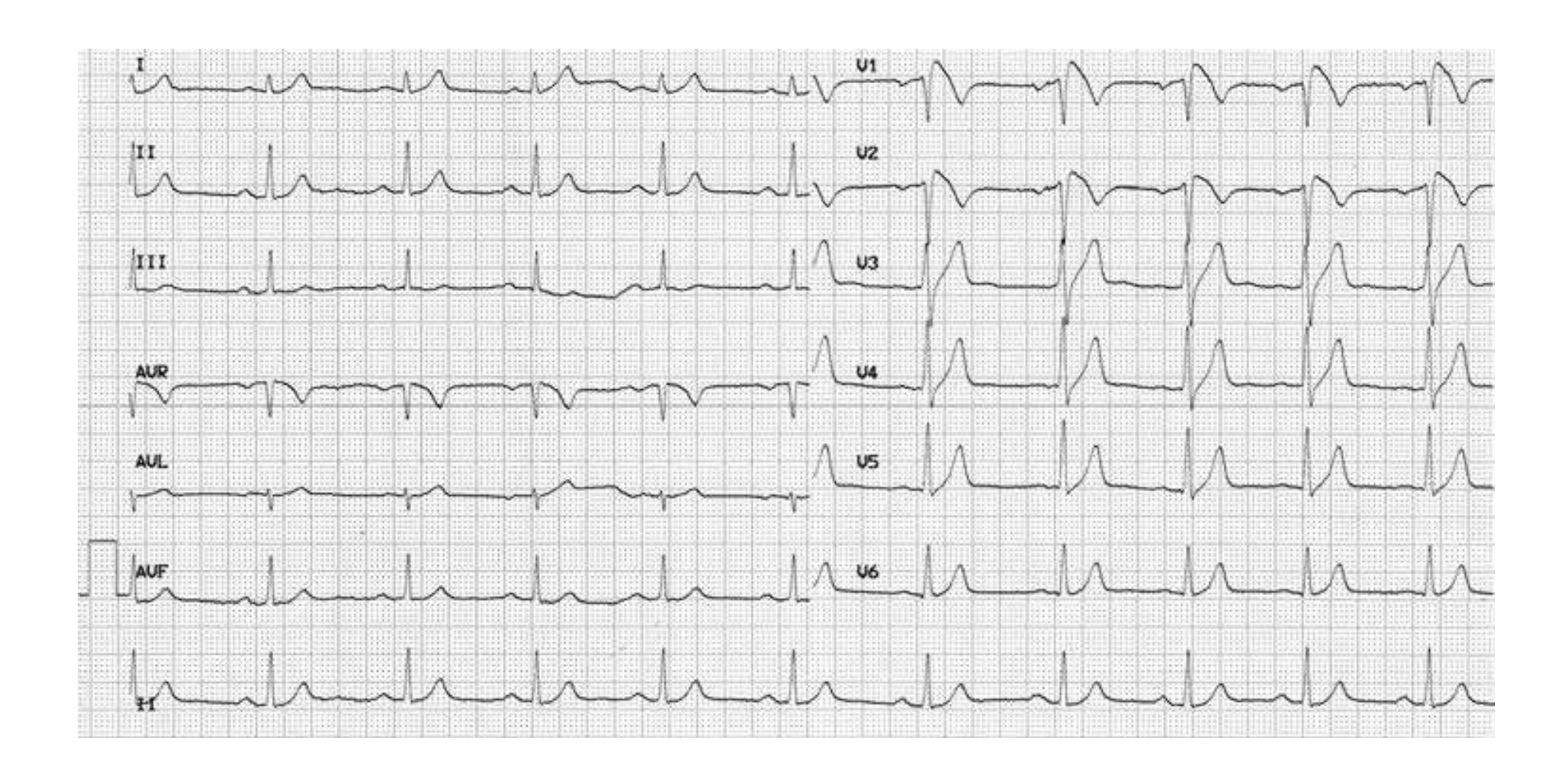
Rechtsschenkelblock



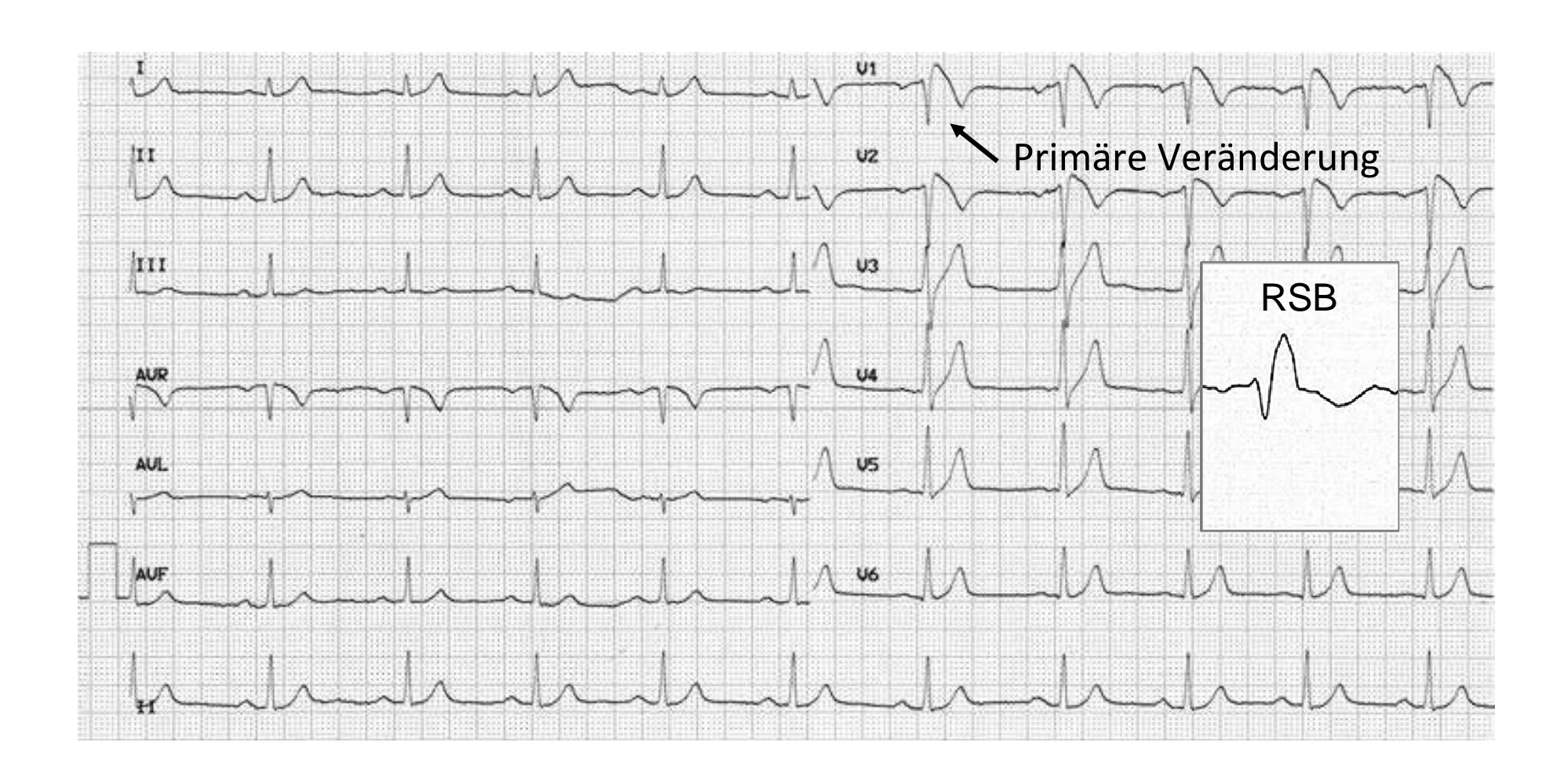
RSB: EKG-Kriterien

- QRS-Dauer ≥ 120 ms (definiert die Schenkelblockierung)
- rSR´-Komplex in V1, so genannte M-Form (verspätete rechtsventrikuläre Aktivierung)
- Verspätung der größten Negativitätsbewegung in V1 (> 50 ms)
- Breite S-Zacken in I, aVL und V5/6 (Spiegelbild der verspäteten rechtsventrikulären Aktivierung)

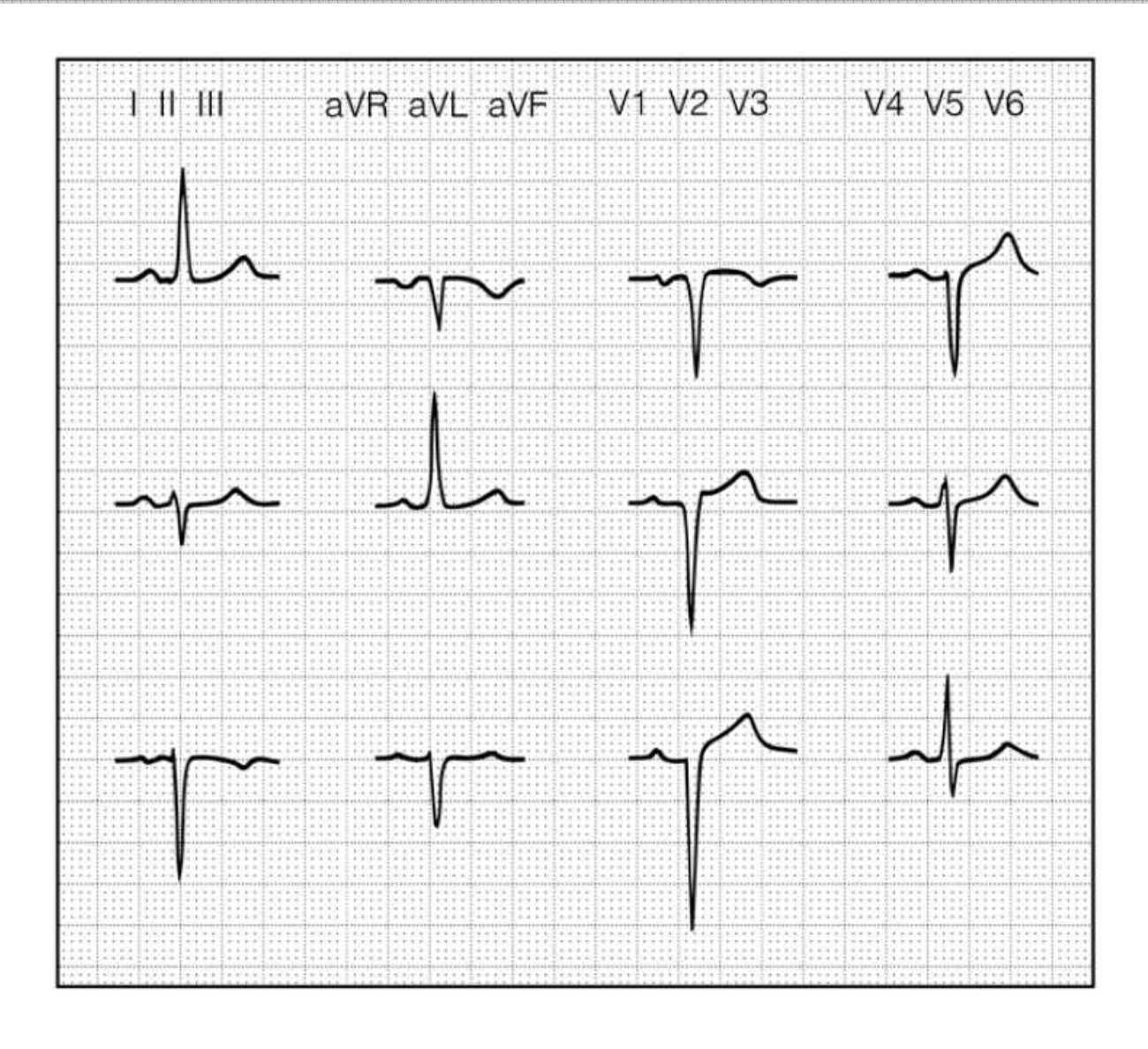
Diagnose?



Brugada-Syndrom

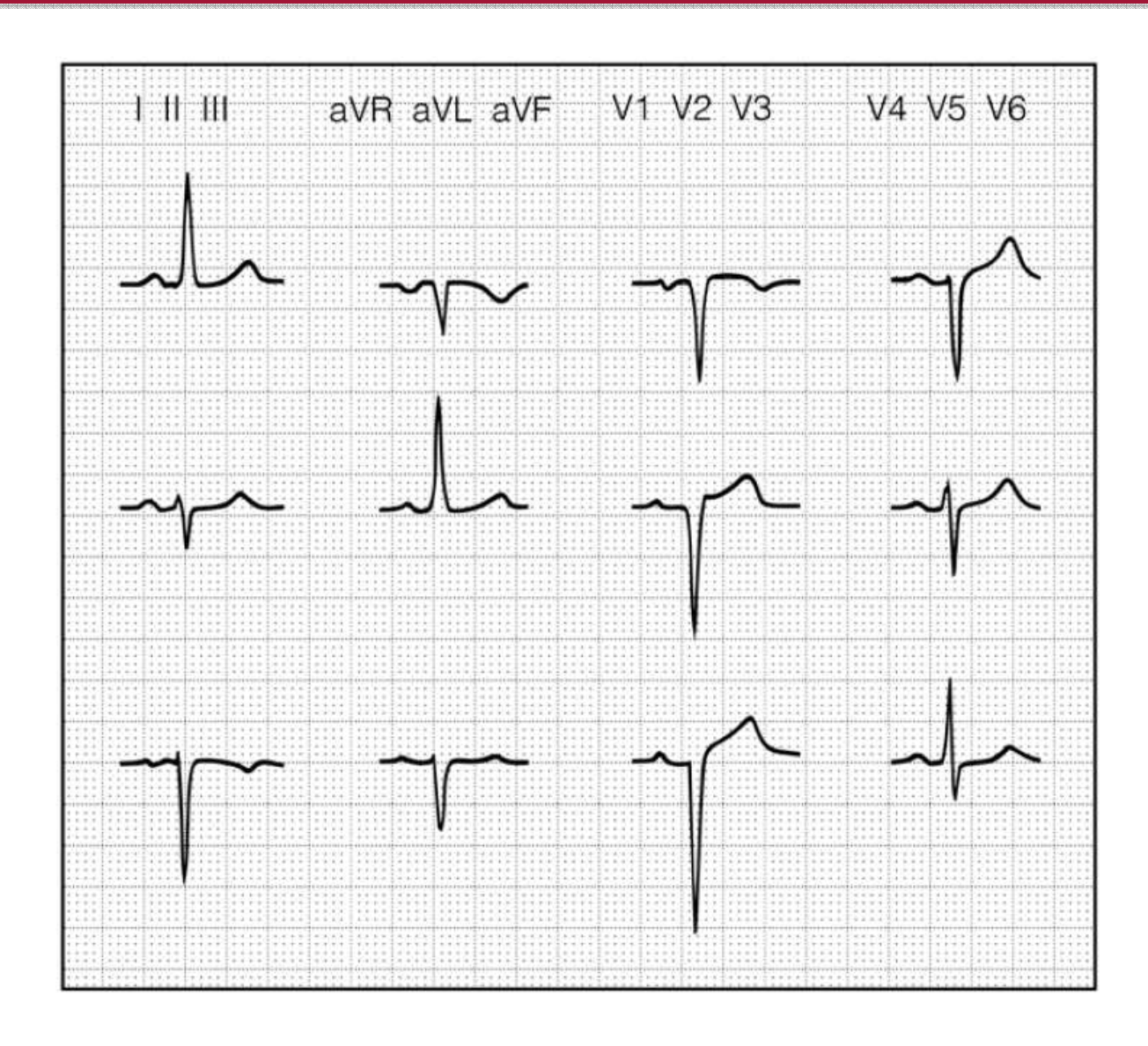


Diagnose



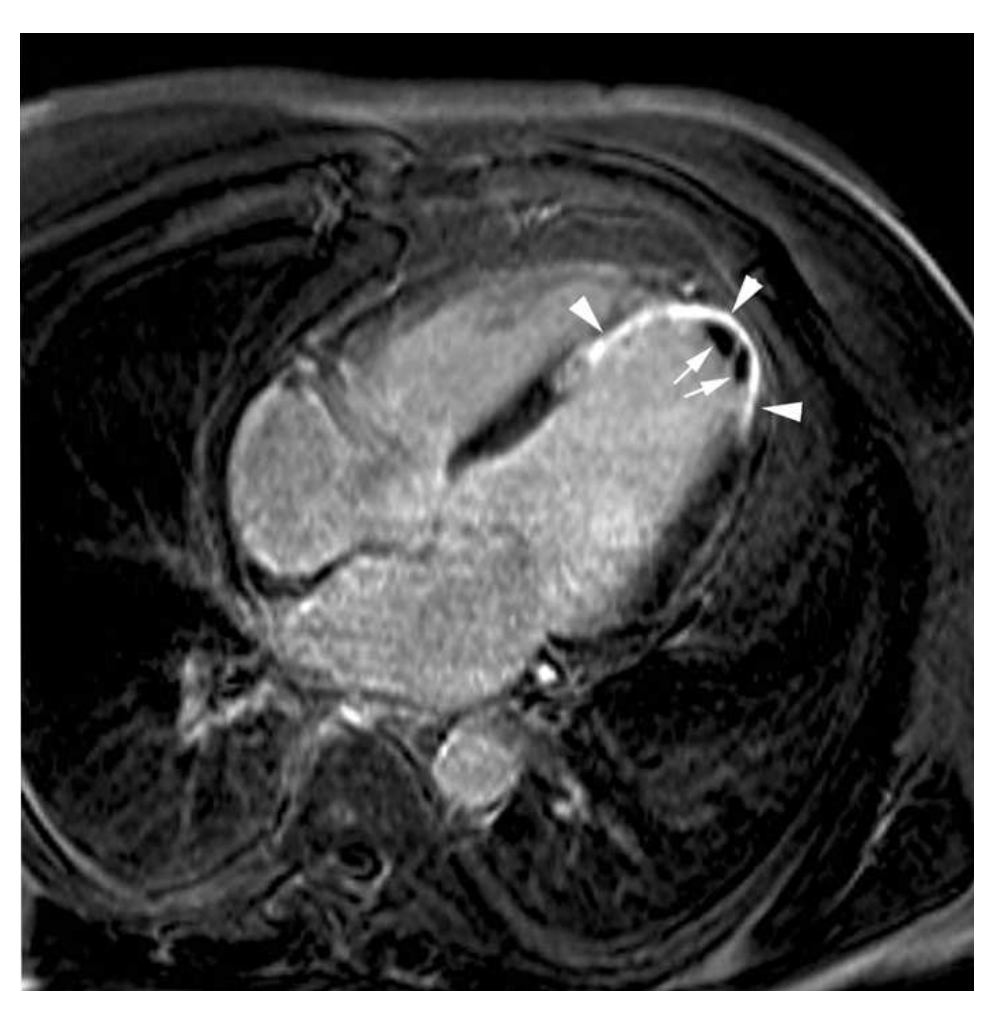
Foster, 2007

Alter Vorderwandinfarkt



Foster, 2007

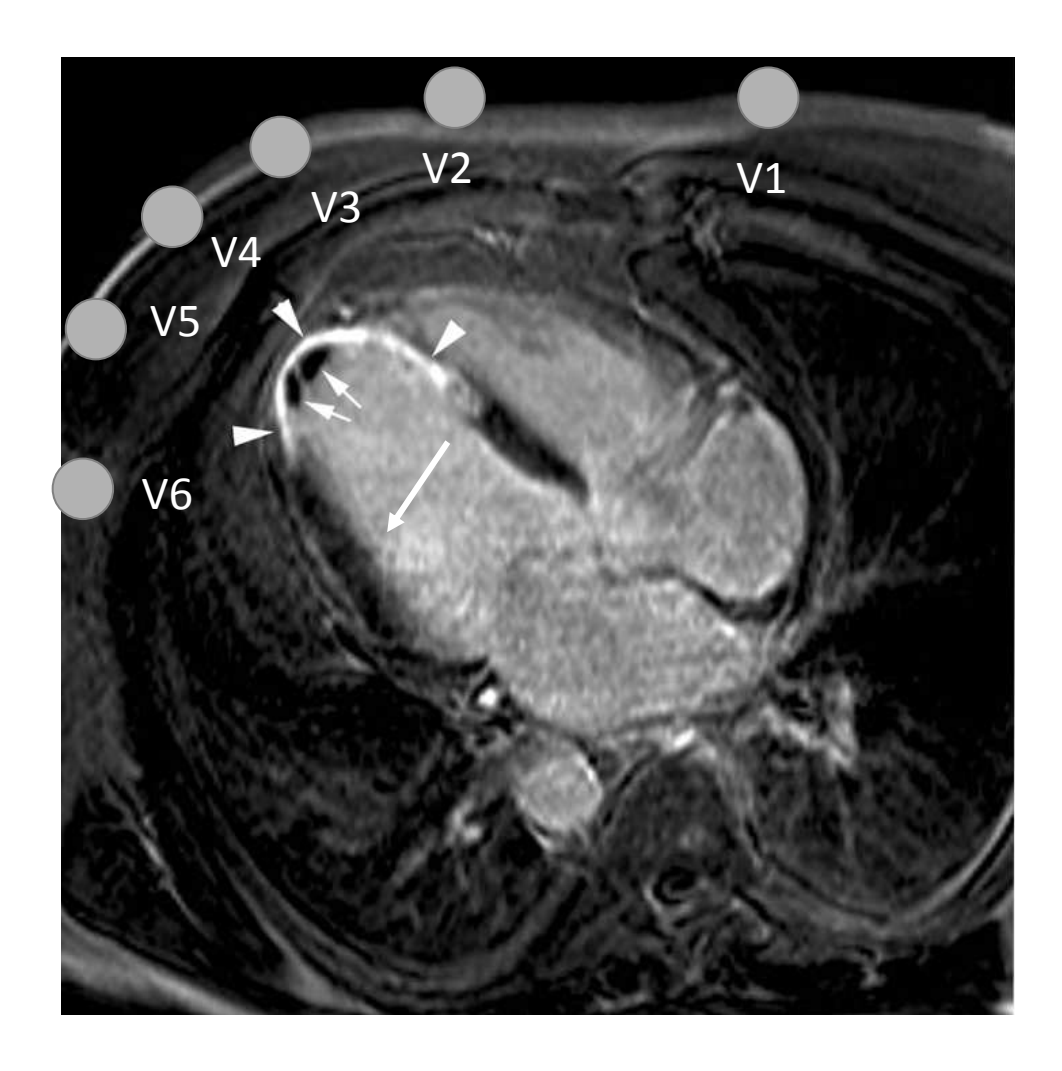
Alter ausgedehnter Vorderwandinfarkt



Giorgio und Bogaert, 2012

Alter ausgedehnter Vorderwandinfarkt

 Ein Vektor ist durch Betrag und Richtung definiert



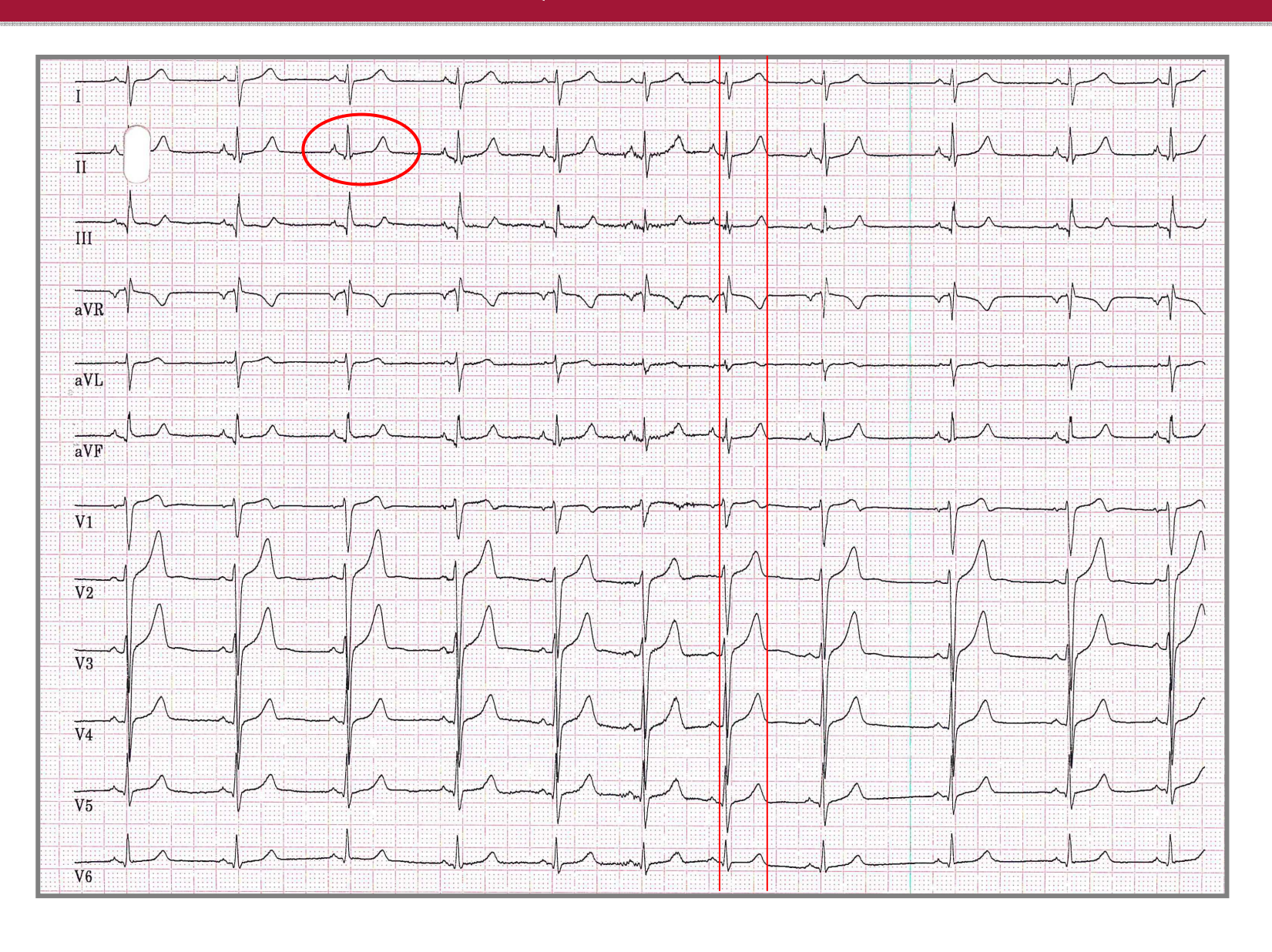
Blick in den Kopf hinein ...



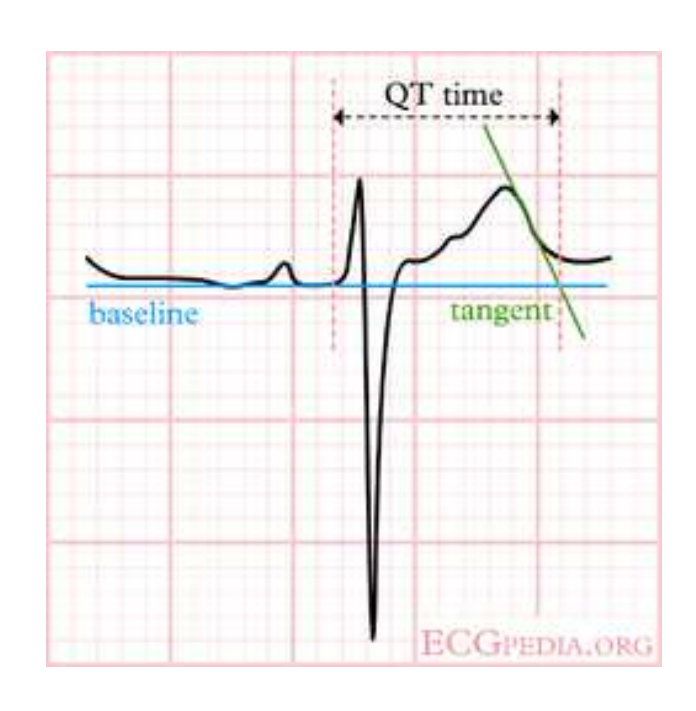
Vermessung des QT-Intervalls

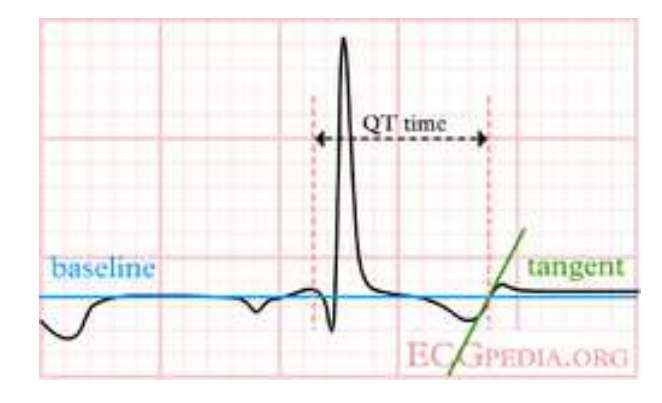
- Wo soll gemessen werden?
- Womit messen?
- Wie angeben (Sekunden oder Millisekunden)?

12-Kanal-EKG: Wo das QT-Intervall messen?

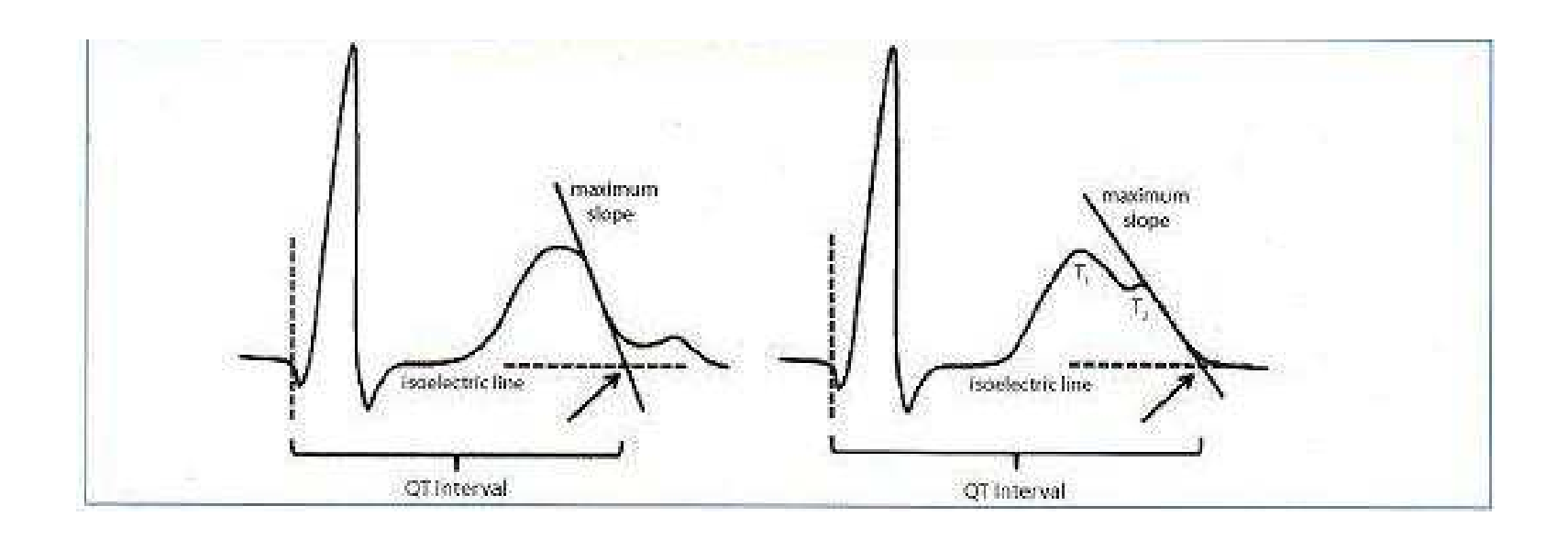


Vermessung mittels Tangentenkonstrution?

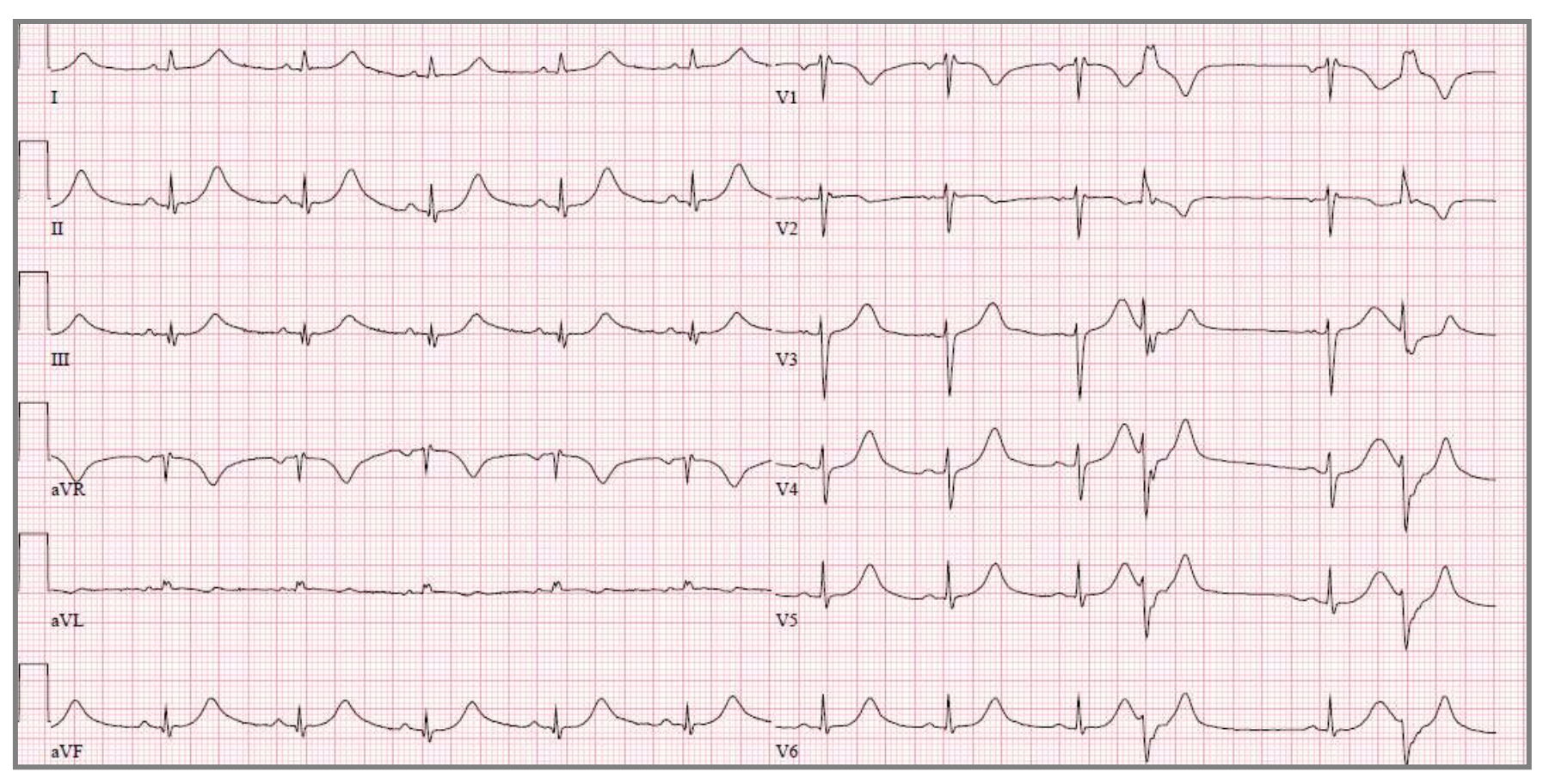




Vermessung mittels Tangentenkonstrution?

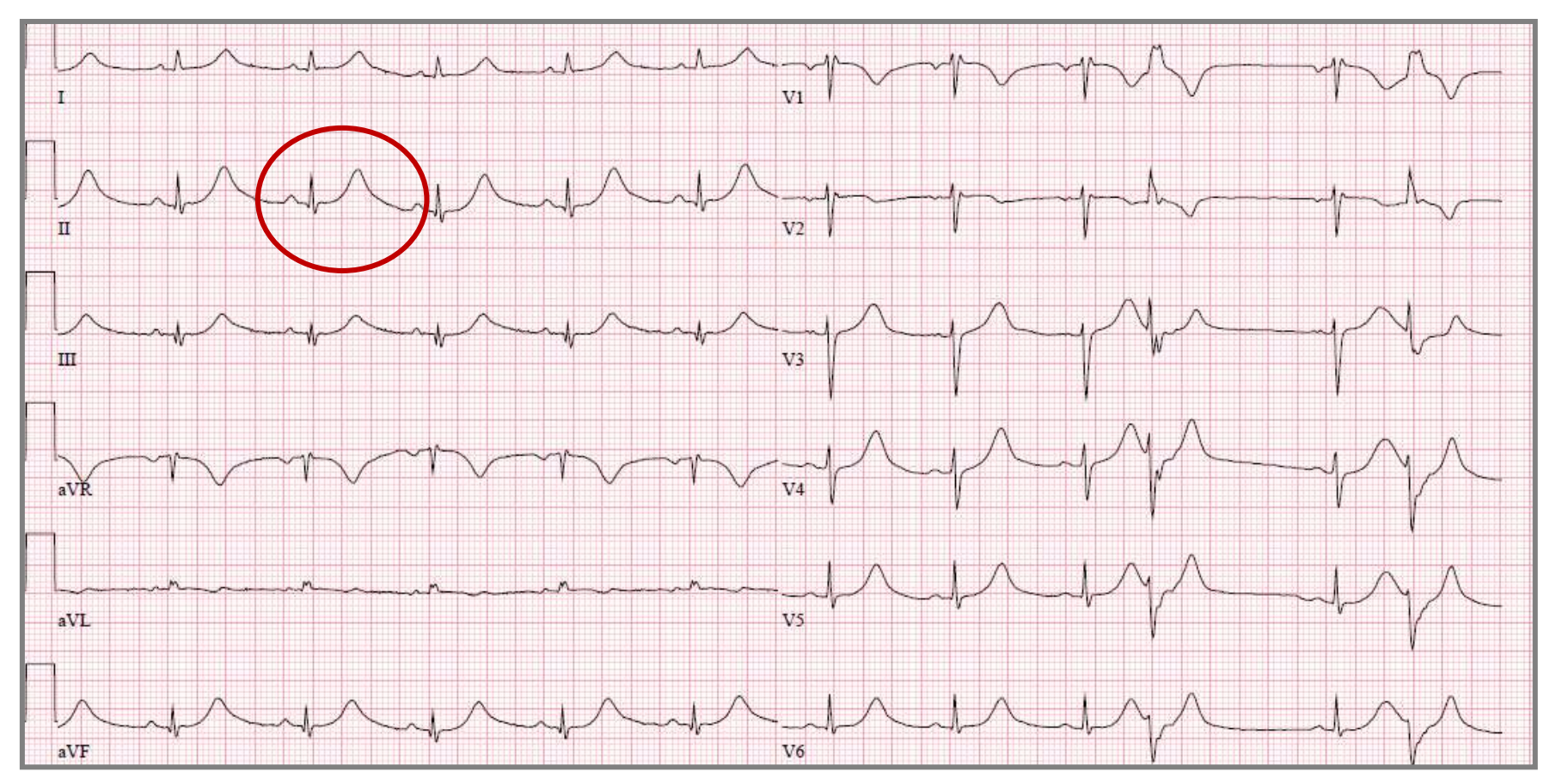


12-Kanal-EKG: Wo das QT-Intervall messen?



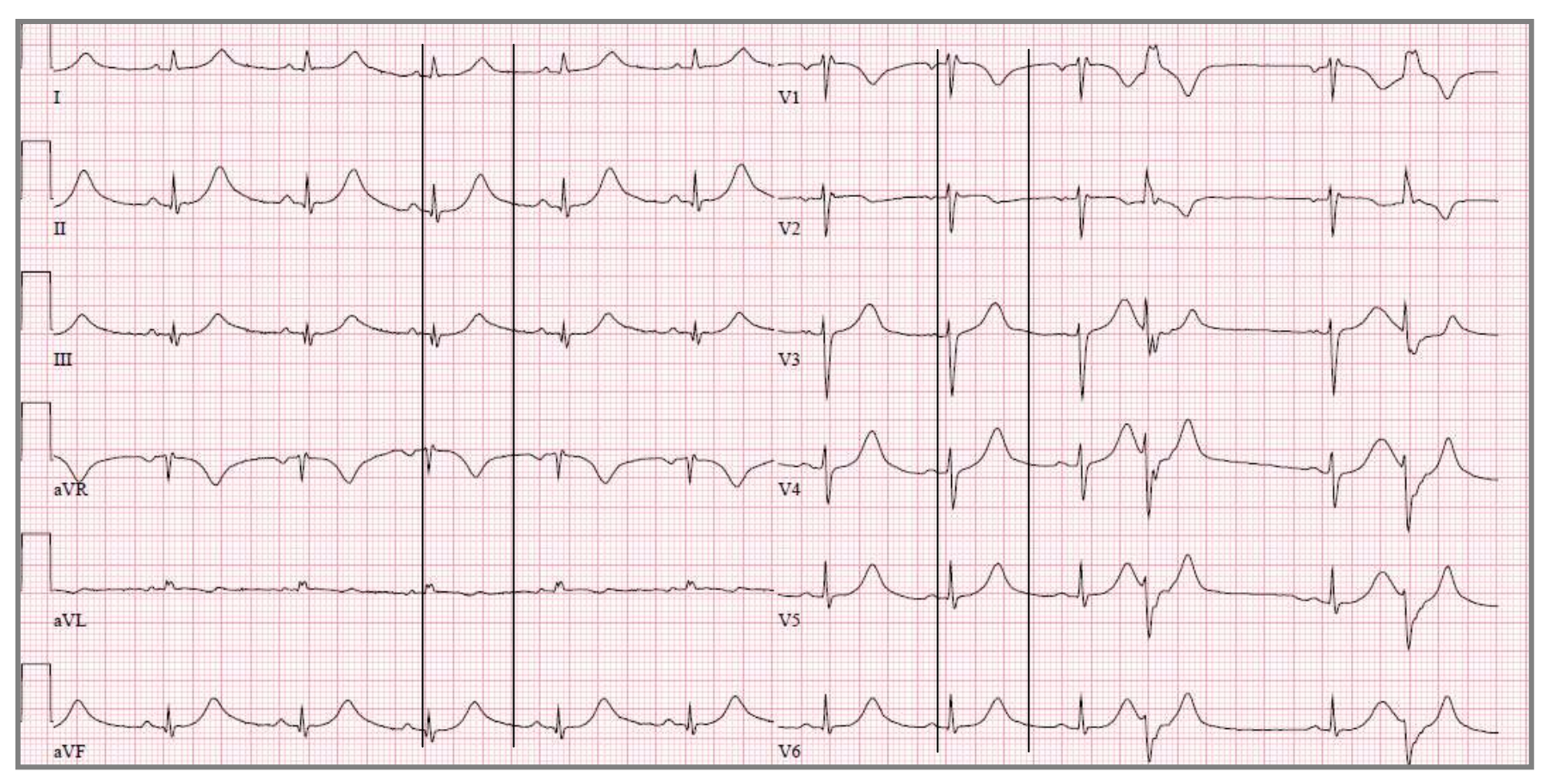
QTc: 524 ms; 6.3.2016

12-Kanal-EKG: Intervallmessung in Ableitung II



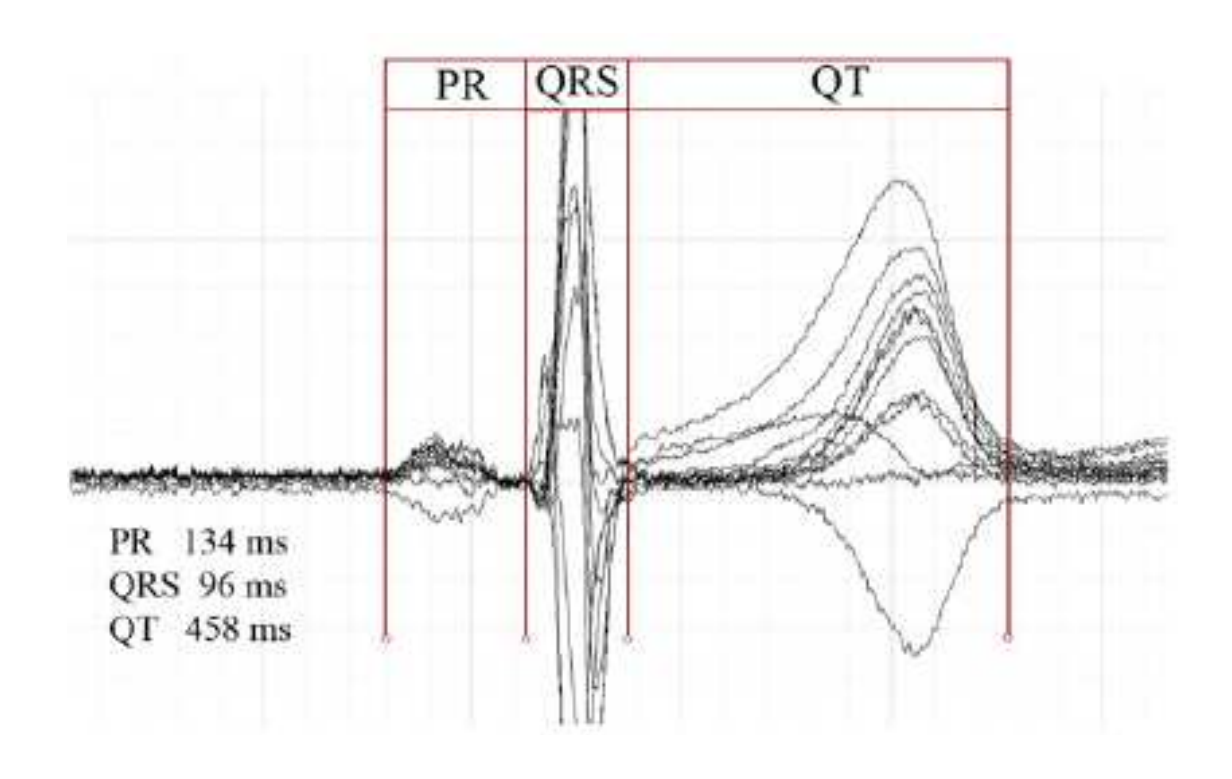
QTc: 524 ms; 6.3.2016

12-Kanal-EKG: Wo das QT-Intervall messen?



QTc: 524 ms; 6.3.2016

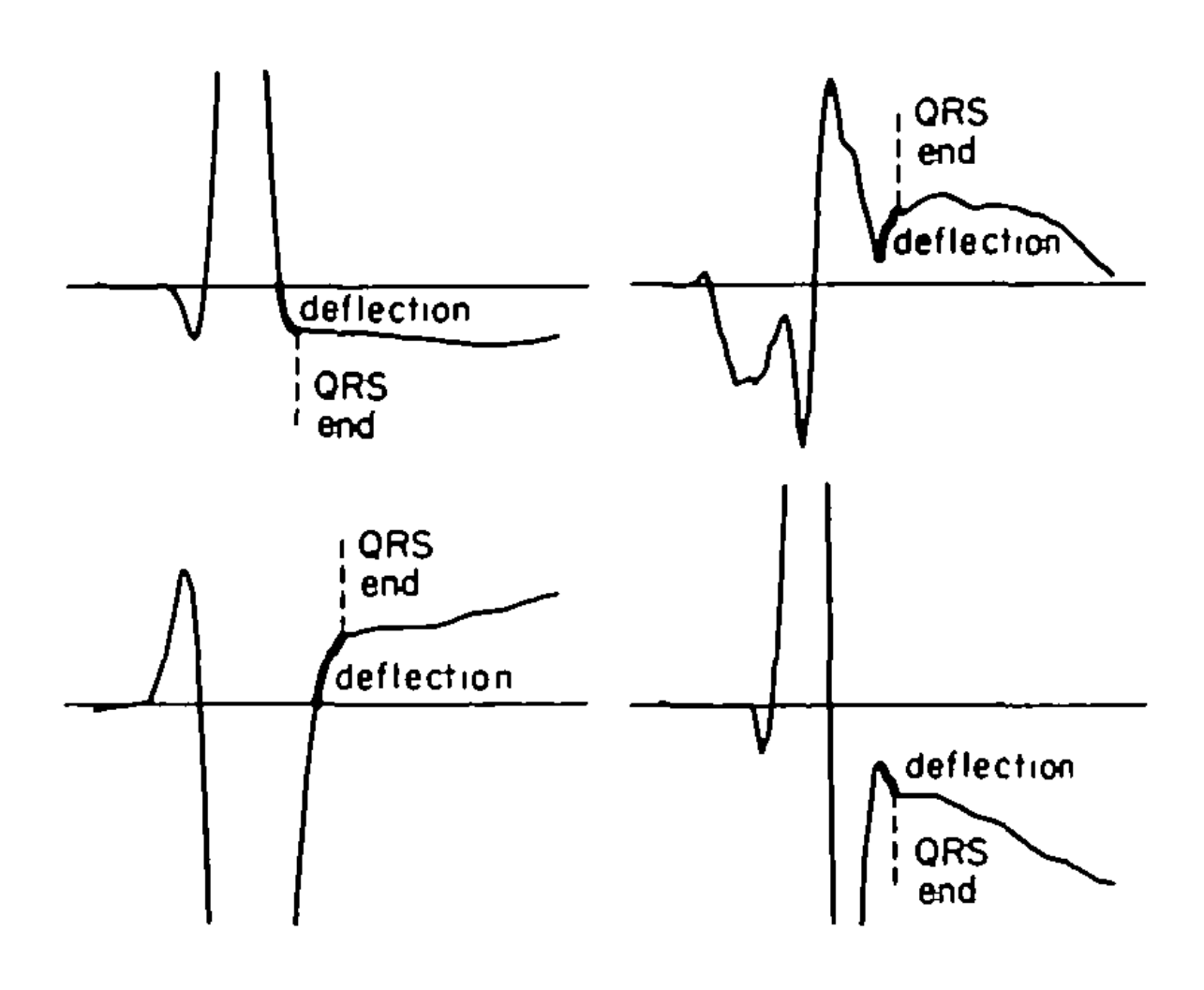
EKG-Intervallmessung



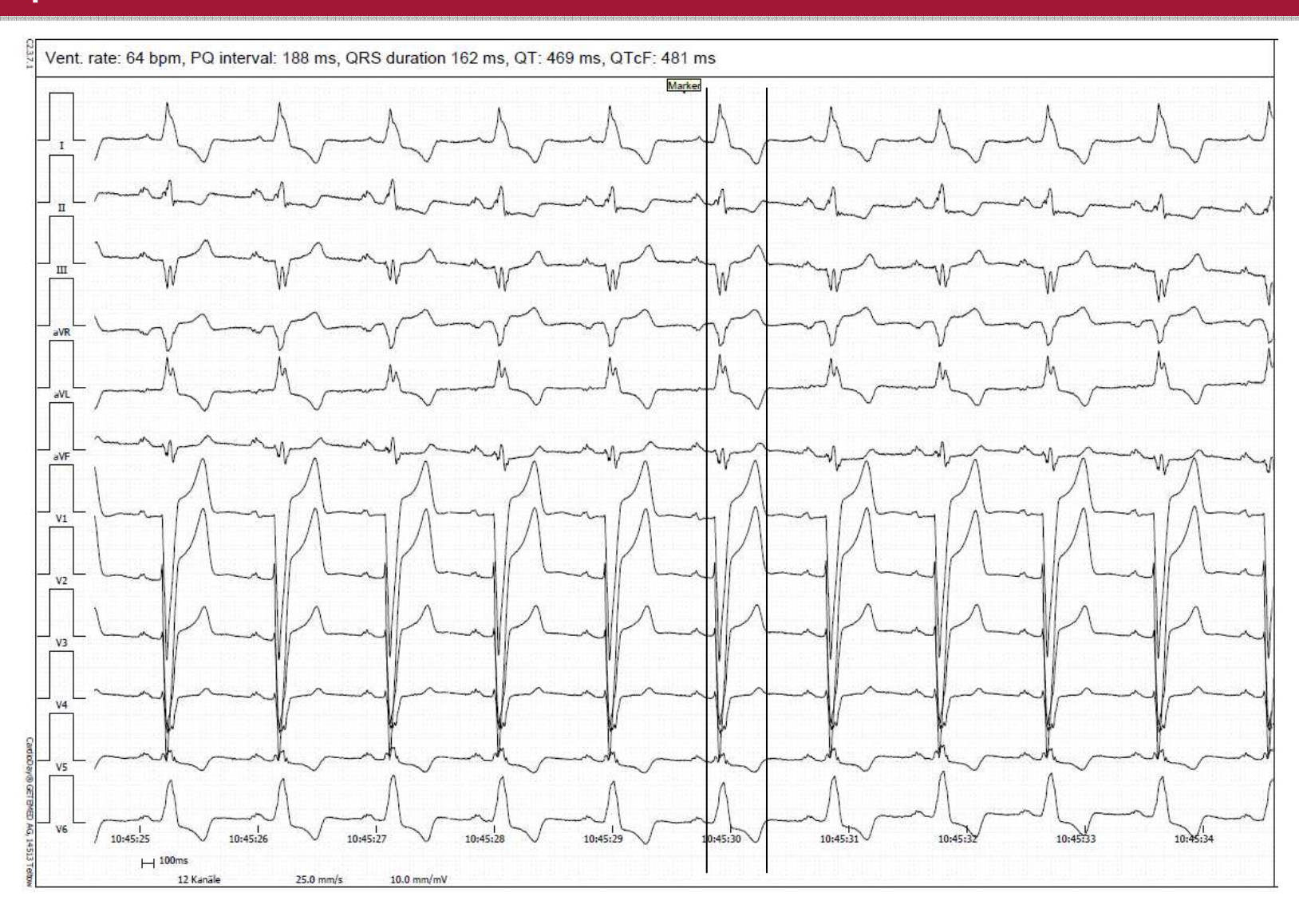
Frequenzkorrektur von QT

- Bazett's formula: $QT_C = QT / \sqrt{RR}$
- Fredericia's formula: $QT_C = QT / RR^{1/3}$
- Framingham formula: $QT_C = QT + 0.154 (1 RR)$
- Hodges formula: $QT_C = QT + 1.75$ (heart rate 60)
- The RR interval is given in seconds (RR interval = 60/heart rate).

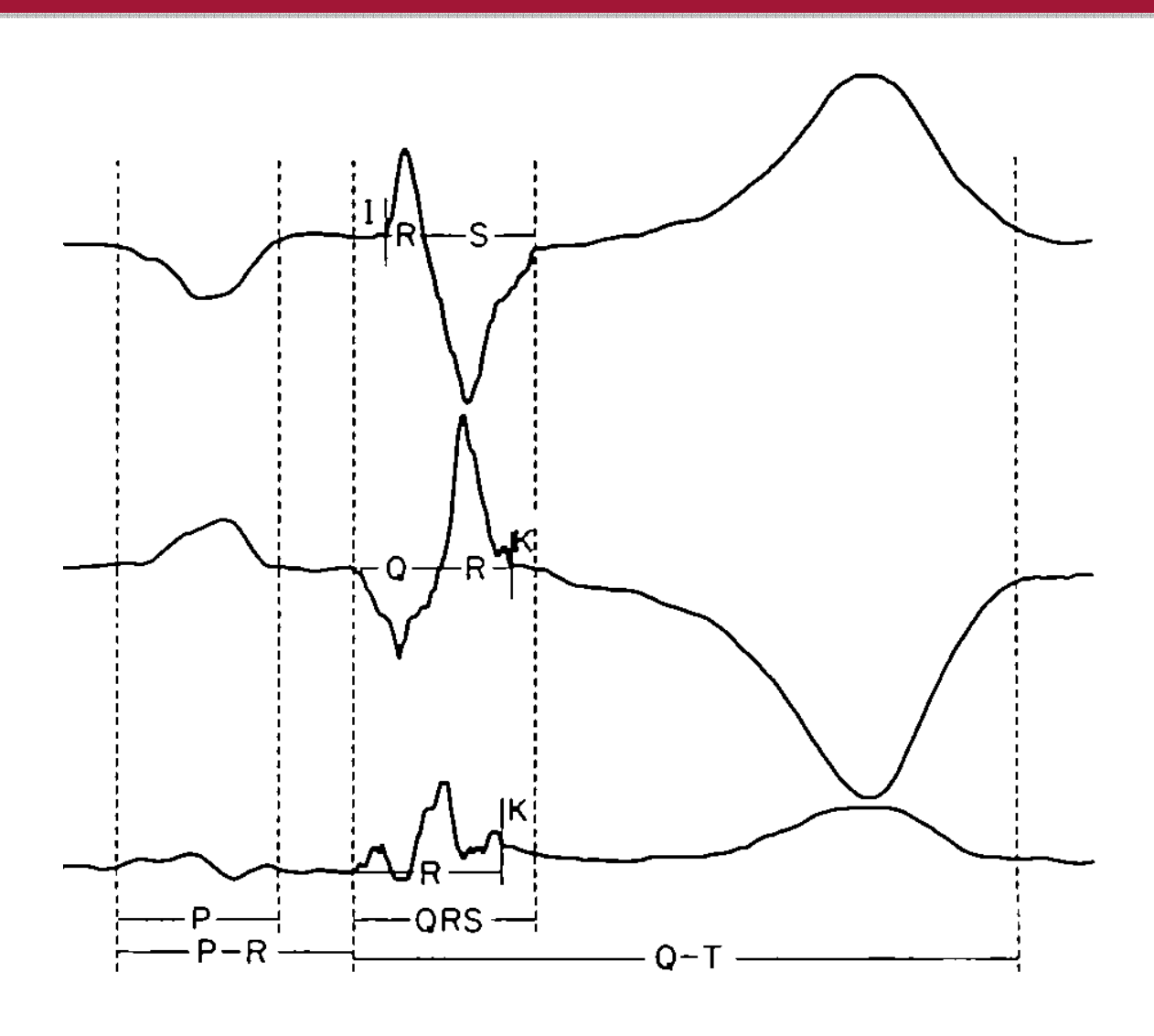
Vermessung der QRS-Dauer



Kompletter Linksschenkelblock



Intervallvermessung



ENDE

Vielen Dank für Ihre Aufmerksamkeit!